

Trina Atena Solar S.r.l.

Sede Legale :
Piazza Borromeo 14,
20123 Milano,
P. IVA 11341420963



CODE

SCS.DES.R.CIV.ITA.P.2051.006.00

PAGE

1 di/of 42

TITLE: Relazionegeotecnica

AVAILABLE LANGUAGE: IT

IMPIANTO FOTOVOLTAICO DELLA POTENZA 10,275 MWp CON INTEGRAZIONE AGRICOLA,
UBICATO NEL COMUNE DI GROTTAGLIE (TA), LOCALITA' CONTRADA ANGIULLI SNC

RELAZIONE GEOTECNICA

File name: XXX_RelazioneGeotecnica_01

00	23/04/2021	EMMISSIONE	SCS INGEGNERIA	SCSINGEGNERIA	SCS INGEGNERIA
			C. MEDICO	A. ANCONA	F.SPECCHIA
REV.	DATE	DESCRIPTION	PREPARED	VERIFIED	APPROVED

SOGGETTO PROPONENTE / Proponent

Trina Atena Solar S.r.l.

Sede Legale :
Piazza Borromeo 14,
20123 Milano,
P. IVA 11341420963

PROGETTISTA / Technical Advisor



PROGETTISTA / Technical Advisor

ING. FEDERICA SPECCHIA



IMPIANTO / Plant

**GROTTAGLIE
(2051)**

CODE

<small>GROUP</small>	<small>FUNCION</small>	<small>TYPE</small>	<small>DISCIPLINE</small>	<small>COUNTRY</small>	<small>TEC</small>	<small>PLANT</small>	<small>PROGRESSIVE</small>	<small>REVISION</small>
SCS	DES	R	C I V I T A	P	2	0 5 1	0 0 6	0 0

CLASSIFICATION:

UTILIZATION SCOPE : PROGETTO DEFINITIVO

INDICE

1	PREMESSA	3
2	INQUADRAMENTO GEOGRAFICO.....	3
3	CONTESTO GEOLOGICO DI RIFERIMENTO.....	5
3.1	STRATIGRAFIA.....	6
3.2	FALDA	6
4	CARATTERIZZAZIONE SISMICA	6
5	MODELLO GEOTECNICO	6
6	DESCRIZIONE DELLE OPERE DI FONDAZIONE	8
6.1	STRUTTURE PORTAMODULI	8
6.2	PALI DI FONDAZIONE	9
6.2.1	NORMATIVE DI RIFERIMENTO.....	9
6.3	Metodo di Berezantzev	10
6.4	Metodo di Vesic.....	11
6.4.1	Metodo di Janbu	12
6.4.2	Criterio di Vesic	15
6.4.3	Criterio di Sano	15
6.4.4	Cedimenti metodo di Davis-Poulos.....	16
6.4.5	Cedimento Metodo Iperbolico.....	16
6.5	CABINATI.....	26

INDICE DELLE FIGURE

Figura 1: Localizzazione area di progetto su stralcio catastale.	4
Figura 2: Ubicazione Layout di progetto su ortofoto (Fonte: Ortofoto Puglia AGEA 2016).	4
Figura 3: Carta tettonico-strutturale schematica dell'Arco Ionico Tarantino con indicazione delle isobate del tetto dei calcari cretacei.	5
Figura 4: Schema della struttura di supporto – Sezione longitudinale	8
Figura 5: Schema della struttura di supporto – Sezione trasversale	9
Figura 6: cedimenti edometrici massimi	41
Figura 7: portanza verticale	41
Figura 8: scorrimento longitudinale	41
Figura 9: scorrimento trasversale	42

1 PREMESSA

La presente relazione geotecnica si riferisce al progetto realizzazione di un Impianto fotovoltaico da 10,275 MWp e relative opere di connessione, ubicato all'interno del Comune di Grottaglie (TA).

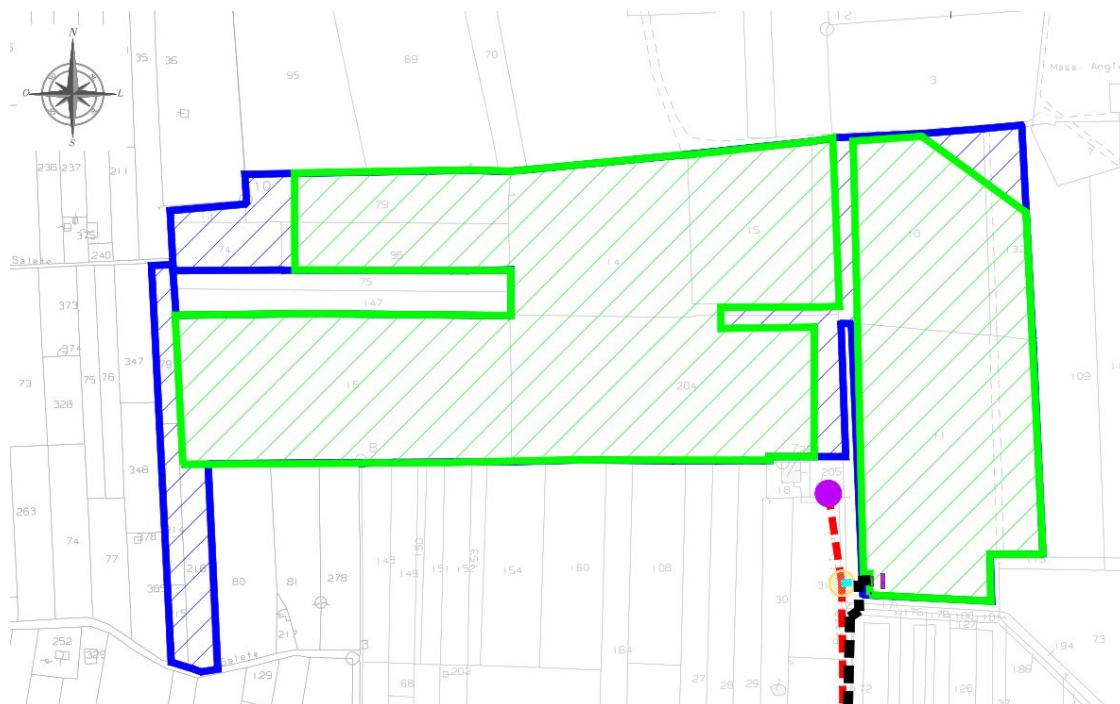
Nel presente documento sono descritti i modelli geotecnici assunti a riferimento, sulla base delle risultanze delle prove in situ e di laboratorio, così come richiesto dalle "Norme Tecniche per le costruzioni" di cui al D.M. 17/01/2018.

2 INQUADRAMENTO GEOGRAFICO

Il sito proposto per il progetto è collocato in comune di Grottaglie, in provincia di Taranto, individuabile alle seguenti coordinate: Latitudine: 40°33'45.01"N Longitudine: 17°22'24.74"E.

L'area di progetto dista circa 2,5km in linea d'aria dal Comune di Montemesola ad ovest, e circa 5km dal centro abitato del Comune di Grottaglie in direzione sud est rispetto all'area impianto.

L'area impianto è individuabile catastalmente al NCT fogli 15 e 16, Comune di Grottaglie (TA).



COMUNE DI GROTTAGLIE (TA)					
Dati identificativi					
IMPIANTO FOTOVOLTAICO					
Foglio	Particelle	Sub.	Dati anagrafici	C.Fiscale	Diritti e oneri reali
15	79	-	ANGIULLI - DI ALBERTO E GIANMATTIA DEL GENIO S.S. con sede in NAPOLI	06884770634*	(1) Proprieta' per 1/1
	214				
	215				
	216				
16	10	-	ANGIULLI - DI ALBERTO E GIANMATTIA DEL GENIO S.S. con sede in NAPOLI	06884770634*	(1) Proprieta' per 1/1
	11				
	12				
	14				
	15				
	16				
	74				
	79				
	96				
	132				
204					(1) Proprieta' per 1000/1000

Figura 1: Localizzazione area di progetto su stralcio catastale.

Per quanto concerne le quote topografiche, per l'impianto si attesta ad una quota di circa 140 m s.l.m.m.. L'area si presenta sub-pianeggiante.



- Moduli Fotovoltaici
- Cabina di Cosegna
- Cabina di Trasformazione
- Cabine Utente
- Strada interna di progetto
- Fascia arborea
- Strada esistente
- Cavidotto di connessione MT

Figura 2: Ubicazione Layout di progetto su ortofoto (Fonte: Ortofoto Puglia AGEA 2016).

3 CONTESTO GEOLOGICO DI RIFERIMENTO

L'Arco Ionico Tarantino, settore meridionale della Fossa Premurgiana, si estende dal Fiume Bradano, ad Ovest, fino alle propaggini delle Murge tarantine ad Est, e confina a Nord con le pendici dell'altopiano murgiano (Murge di Matera-Castellaneta; Figura 22).

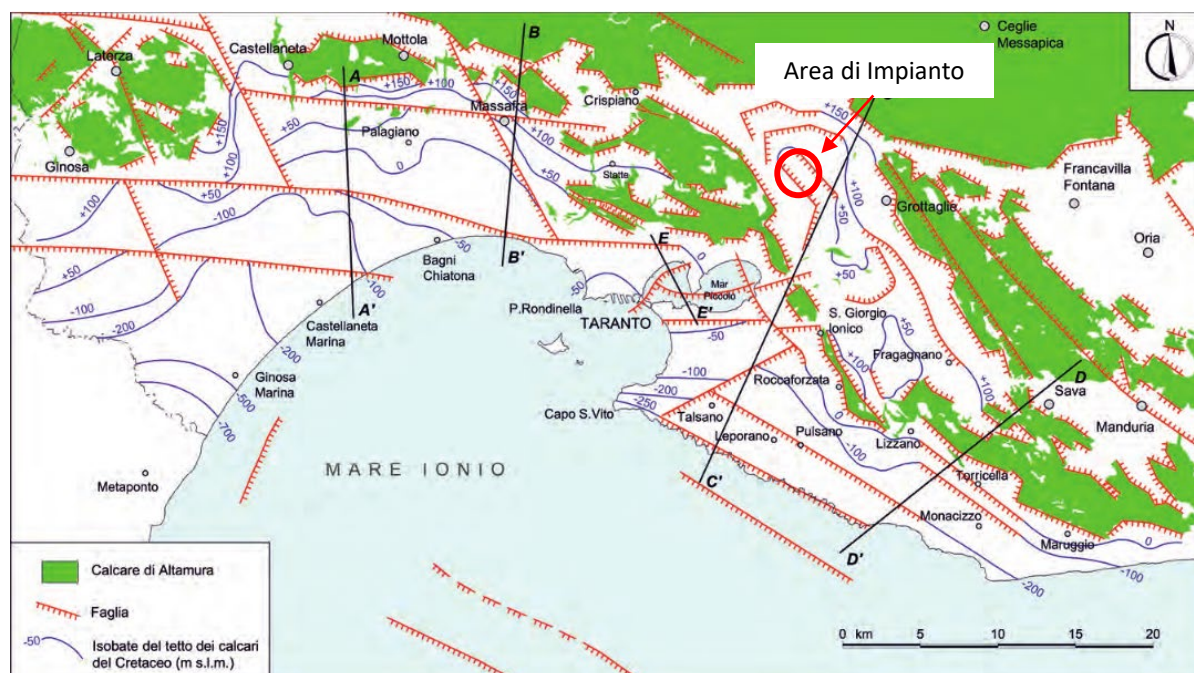


Figura 3: Carta tettonico-strutturale schematica dell'Arco Ionico Tarantino con indicazione delle isobate del tetto dei calcari cretacei.

Esso presenta una configurazione morfologica ad anfiteatro e a gradinata, definita da una successione di ripiani e di scarpate (terrazzamenti marini) che si articolano a partire da circa 400 metri s.l.m. fino all'attuale linea di costa. Detti terrazzi marini sono il risultato dell'interazione tra il sollevamento tettonico della piattaforma apula e le variazioni glacio-eustatiche del livello del mare avvenute durante il Pleistocene.

Estendendosi per lo più con uno sviluppo longitudinale parallelo alla costa, essi sono caratterizzati da superfici di abrasione, con margini interni corrispondenti a linee di riva riferibili a stazionamenti di livelli marini posti a quote maggiori rispetto a quelle attuali.

3.1 STRATIGRAFIA

La stratigrafia della zona di studio, dalla più antica alla più recente, è rappresentata da:

DEPOSITI MARINI

- "Calcare di Altamura" (Cretaceo sup.)
- "Calcarenite di Gravina" (Pliocene sup. - Pleistocene inf.)
- "Argille subappennine" (Pleistocene inf.)
- "Depositi Marini Terrazzati" - DMT (Pleistocene medio - sup.)

DEPOSITI CONTINENTALI

- "Depositi recenti e attuali" - (Olocene)

3.2 FALDA

Nell'area strettamente interessata al progetto, le particolari condizioni litostratigrafiche, fanno sì che la falda idrica superficiale sia del tutto assente, come confermato dalle indagini geognostiche eseguite. Per tale motivo non si prevede alcuna interazione fra le opere in progetto e la falda freatica superficiale.

4 CARATTERIZZAZIONE SISMICA

Dalle risultanze delle analisi sismiche eseguite con la metodologia precedentemente descritta, si evince:

	V_{s,eq}	Classe
✓ Profilo MASW N.1	402 m/sec	"B"

"Rocce tenere e depositi di terreni a grana grossa molto addensati o terreni a grana fine molto consistenti, caratterizzati da un miglioramento delle proprietà meccaniche con la profondità e da valori di velocità equivalente compresi tra 360 m/s e 800 m/s.

5 MODELLO GEOTECNICO

Sulla scorta degli studi delle risultanze delle indagini geognostiche effettuate è stato possibile elaborare per l'area di progetto un modello geologico di riferimento, il quale tiene conto di tutte le informazioni acquisite durante il presente studio, che viene nel seguito sintetizzato:

Orizzonte A – DEPOSITI DI COPERTURA ATTUALI – TERRENO VEGETALE

da 0.00 m a 0.80 m Terreno vegetale.

Orizzonte B – DEPOSITI DI TERRAZZO [DMT]

da 0,80 a 10,00 m Sabbie calcarenitiche concrezionate ocra, costituite da alternanze di livelli sabbiosi e livelli di arenarie organogene dello spessore variabile ed a diverso grado di cementazione.

Orizzonte C – ARGILLE SUBAPPENNINE [AS]

da 10,00 m –m Sabbie argillose grigio avana passanti ad argille sabbiose grigio-azzurre.

Sulla base del modello geologico di riferimento è possibile inoltre considerare i seguenti aspetti:

Categoria di sottosuolo	B
Categoria Topografica	T1
Rischio liquefazione dei terreni	Nullo
Rischio instabilità dei terreni	Situazione Stabile
Rischio Idraulico	Nullo
Pericolosità geo-sismica del sito	Molto Bassa

In accordo con il modello geologico, sintetizzando le risultanze delle indagini geognostiche effettuate unitamente ai dati bibliografici in possesso dello scrivente, è stato elaborato il modello geotecnico dell'area in studio, il quale è formato dai seguenti livelli geotecnici:

Livello Geotecnico	Profondità	Descrizione
LIVELLO 1)	0,00 – 0,60 mt	TERRENO VEGETALE
LIVELLO 2)	0,60 – 10,00 mt	SABBIE E SABBIE CALCARENITICHE CONCR.

I valori delle principali caratteristiche fisiche e meccaniche sono stati ricavati dall'elaborazione delle prove penetrometriche, dalla velocità delle onde sismiche, oltre che da dati bibliografici in possesso dello scrivente riguardanti indagini pregresse su terreni simili a quelli in studio.

In particolare è stato parametrizzato il solo livello 2), il quale costituisce il sedime di fondazione delle strutture fotovoltaiche nonché dei cabinati.

Livello Geotecnico (2): Depositi sabbioso-ghiaiosi-arenitici

Formazione geologica: Depositi Marini Terrazzati

Descrizione litologica: alternanza di sabbie e strati arenitici da mediamente a ben cementati.

Soggiacenza della falda: Assente.

Caratteristiche geotecniche generali: terreni a comportamento geotecnico da discreto a buono, prevalentemente incoerente, a consistenza generalmente medio-bassa nei livelli superficiali, che tende ad aumentare con la profondità.

Parametri geotecnici caratteristici:

	MIN	MAX	BEST FIT
γ (kN/m ³) Peso per unità di volume naturale	18.0	20.0	19.5
γ_{sec} (kN/m ³) Peso per unità di volume secco	17.0	19.0	18.0
γ_{sat} (kN/m ³) Peso per unità di volume saturo	19.5	21.8	20.5
γ_s (kN/m ³) Peso specifico	---	---	23.0
ϕ' (°) [grandi volumi]	29.8	30.8	30.5
ϕ' (°) [grandi volumi]	28.5	29.2	29.0
c' (kPa) Coesione efficace	0.0	9.0	4.5

Comportamento Strato: Granulare sciolto

Stato di addensamento: da med. addensato a semicoerente

Alla luce di quanto riportato, e considerando che l'opera in progetto sarà costituita da una struttura con carichi normali e non eccessivamente elevati, si può ipotizzare, quali appoggi idonei per le opere in elevazione, una fondazione del tipo pali infissi o viti di fondazione per le strutture portamoduli, ed una fondazione del tipo "superficiale" per i basamenti delle cabine, che si attestino all'interno della formazione sabbioso-calcarenitica dei DMT.

6 DESCRIZIONE DELLE OPERE DI FONDAZIONE

6.1 STRUTTURE PORTAMODULI

La struttura di supporto dei pannelli è costituita da colonne in acciaio (profili UPN 200 in acciaio S235) sulle quali sono fissate le travi di collegamento e gli elementi secondari di bloccaggio dei pannelli.

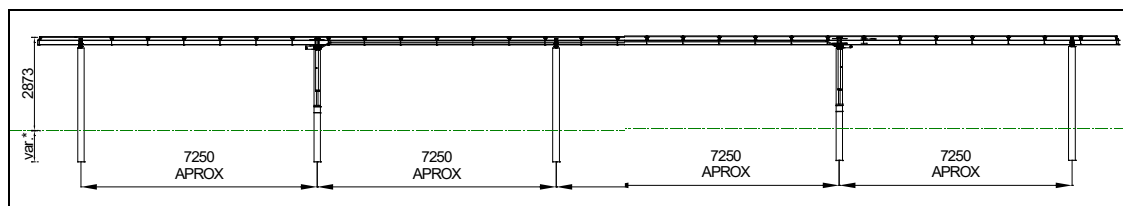


Figura 4: Schema della struttura di supporto – Sezione longitudinale

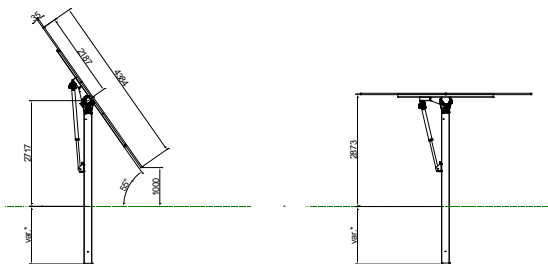


Figura 5: Schema della struttura di supporto – Sezione trasversale

Il pre-dimensionamento effettuato tiene in considerazione l'utilizzo delle viti di fondazione, di cui si riporta nei paragrafi a seguire il relativo calcolo.

Il pre-dimensionamento effettuato non è vincolante, e nella fase esecutiva si potrà effettuare la scelta tra pali infissi o viti di fondazione, in funzione delle risultanze delle prove di PULL – OUT (nel caso di pali infissi) o prove di sfilamento (in caso di viti) e dei calcoli esecutivi, a cura del fornitore.

Qui di seguito si riporta il calcolo preliminare della lunghezza di infissione di quest'ultime.

6.2 PALI DI FONDAZIONE

6.2.1 NORMATIVE DI RIFERIMENTO

NTC2018 - Aggiornamento delle «Norme tecniche per le costruzioni» - D.M. 17 gennaio 2018

NTC2008 - Norme tecniche per le costruzioni - D.M. 14 Gennaio 2008.

CIRCOLARE 2 febbraio 2009, n. 617 - Istruzioni per l'applicazione delle 'Nuove norme tecniche per le costruzioni' di cui al decreto ministeriale 14 gennaio 2008. (GU n. 47 del 26-2-2009 - Suppl. Ordinario n.27)

Eurocodice 7: Progettazione geotecnica – Parte 1: Regole generali.

Eurocodice 8: Indicazioni progettuali per la resistenza sismica delle strutture - Parte 5: Fondazioni, strutture di contenimento ed aspetti geotecnici.

Carico limite verticale

Il carico limite verticale è stato calcolato con le formule statiche, che esprimono il medesimo in funzione della geometria del palo, delle caratteristiche del terreno e dell'interfaccia palo-terreno. A riguardo, poiché la realizzazione di un palo, sia esso infisso o trivellato, modifica sempre le caratteristiche del terreno nell'intorno dello stesso, si propone di assumere un angolo di resistenza a taglio pari a:

$$\phi' = \frac{3}{4}\phi + 10 \quad \text{nei pali infissi}$$

$$\phi' = \phi - 3^\circ \quad \text{nei pali trivellati}$$

dove ϕ è l'angolo di resistenza a taglio prima dell'esecuzione del palo. Di seguito indicheremo con ϕ il parametro di resistenza scelto.te.

Ai fini del calcolo, il carico limite Q_{lim} viene convenzionalmente suddiviso in due aliquote, la resistenza alla punta Q_p e la resistenza laterale Q_l .

Resistenza unitaria alla punta

Formula di Terzaghi

La soluzione proposta da Terzaghi assume che il terreno esistente al disopra della profondità raggiunta dalla punta del palo possa essere sostituito da un sovraccarico equivalente pari alla tensione verticale efficace (trascurando pertanto il fatto che l'interazione tra palo e terreno di fondazione possa modificare tale valore) e riconduce l'analisi al problema di capacità portante di una fondazione superficiale.

La formula di *Terzaghi* può essere scritta:

$$Q_p = c \cdot N_c \cdot s_c + \gamma \cdot L \cdot N_q + 0.5 \cdot \gamma \cdot D \cdot N_\gamma \cdot s_\gamma$$

dove:

$$N_q = \frac{a^2}{2 \cos^2(45 + \phi/2)}$$

$$a = e^{(0.75\pi - \phi/2) \tan \phi}$$

$$N_c = (N_q - 1) \cot \phi$$

$$N_\gamma = \frac{\tan \phi}{2} \left(\frac{K_{py}}{\cos^2 \phi} - 1 \right)$$

6.3 Metodo di Berezantzev

Fondamentalmente *Berezantzev* fa riferimento ad una superficie di scorrimento "alla Terzaghi" che si arresta sul piano di posa (punta del palo); tuttavia egli considera che il cilindro di terreno coassiale al palo ed avente diametro pari all'estensione in sezione della superficie di scorrimento, sia in parte "sostenuto" per azione tangenziale dal rimanente terreno lungo la superficie laterale. Ne consegue un valore della pressione alla base inferiore a γD , e tanto minore quanto più questo "effetto silo" è marcato, cioè quanto

più grande è il rapporto D/B; di ciò tiene conto il coefficiente N_q , che quindi è funzione decrescente di D/B. La resistenza unitaria Q_p alla punta, per il caso di terreno dotato di attrito (ϕ) e di coesione (c), è data dall'espressione:

$$Q_p = c \cdot N_c + \gamma \cdot L \cdot N_q$$

Avendo indicato con:

γ peso unità di volume del terreno;

L lunghezza del palo;

N_c e N_q sono i fattori di capacità portante già comprensivi dell'effetto forma (circolare);

6.4 Metodo di Vesic

Vesic ha assimilato il problema della rottura intorno alla punta del palo a quello di espansione di una cavità cilindrica in mezzo elasto-plastico, in modo da tener conto anche della compressibilità del mezzo.

Secondo Vesic i coefficienti di capacità portante N_q e N_c si possono calcolare come segue:

$$N_q = \frac{3}{3 - \sin \phi} \left\{ \exp \left[\left(\frac{\pi}{2} - \phi \right) \tan \phi \right] \tan^2 \left(45 + \frac{\phi}{2} \right) I_{rr}^{(4 \sin \phi) / [3(1 + \sin \phi)]} \right\}$$

L'indice di rigidità ridotto I_{rr} nella precedente espressione viene calcolato a partire dalla deformazione volumetrica ε_v .

L'indice di rigidità I_r si calcola utilizzando il modulo di elasticità tangenziale G' e la resistenza a taglio s del terreno.

Quando si hanno condizioni non drenate o il suolo si trova in uno stato addensato, il termine ε_v può essere assunto pari a zero e si ottiene $I_{rr} = I_r$

E' possibile fare una stima di I_r con i valori seguenti:

TERRENO	I_r
Sabbia	75-150
Limo	50-75
Argilla	150-250

Il termine N_c della capacità portante viene calcolato:

$$N_c = (N_q - 1) \cot \phi \quad (a)$$

Quando $\phi = 0$ (condizioni non drenate)

$$N_c = \frac{4}{3} (\ln I_{rr} + 1) + \frac{\pi}{2} + 1$$

6.4.1 METODO DI JANBU

Janbu calcola N_q (con l'angolo ψ espresso in radianti) come segue:

$$N_q = \left(\tan \phi + \sqrt{1 + \tan^2 \phi} \right)^2 \exp(2\psi \tan \phi)$$

N_c si può ricavare dalla (a) quando $\phi > 0$.

Per $\phi = 0$ si usa $N_c = 5.74$

6.4.1.1 FORMULA DI HANSEN

La formula di Hansen vale per qualsiasi rapporto D/B , quindi sia per fondazioni superficiali che profonde, ma lo stesso autore introdusse dei coefficienti per meglio interpretare il comportamento reale della fondazione, senza di essi, infatti, si avrebbe un aumento troppo forte del carico limite con la profondità.

Per valori $L/D > 1$:

$$d_c = 1 + 0.4 \tan^{-1} \frac{L}{D}$$

$$d_q = 1 + 2 \tan \phi (1 - \sin \phi)^2 \tan^{-1} \frac{L}{D}$$

Nel caso $\phi = 0$

D/B	0	1	1.1	2	5	10	20	100
d'_c	0	0.40	0.33	0.44	0.55	0.59	0.61	0.62

Nei fattori seguenti le espressioni con apici (') valgono quando $\phi = 0$.

Fattore di forma:

$$s'_c = 0.2 \cdot \frac{D}{L}$$

$$s_c = 1 + \frac{N_q}{N_c} \cdot \frac{D}{L}$$

$$s_q = 1 + \frac{D}{L} \cdot \tan \phi$$

$$s_q = 1 + \frac{D}{L} \cdot \tan \phi$$

$$s_\gamma = 1 - 0.4 \cdot \frac{D}{L}$$

Fattore di profondità:

$$d'_c = 0.4 \cdot k$$

$$d_c = 1 + 0.4k$$

$$d_q = 1 + 2 \tan \phi \cdot (1 - \sin \phi) \cdot k$$

$$d_\gamma = 1 \text{ per qualsiasi } k$$

$$k = \tan^{-1} \frac{L}{D} \text{ se } \frac{L}{D} > 1$$

Resistenza del fusto

Il metodo utilizzato per il calcolo della capacità portante laterale è il metodo α , proposto da *Tomlinson (1971)*; la resistenza laterale viene calcolata nel seguente modo:

$$Q_1 = (\alpha c + \sigma K \tan \delta) \cdot A_l \cdot f_w$$

A_l = superficie laterale del palo;

f_w = fattore di correzione legato alla tronco-conicità del palo, ossia la diminuzione percentuale del diametro del palo con

c = valore medio della coesione (o della resistenza a taglio in condizioni non drenate);

σ = pressione verticale efficace del terreno;

K = coefficiente di spinta orizzontale, dipendente dalla tecnologia di esecuzione del palo e dal precedente stato di addensamento, viene calcolato come segue:

Per pali infissi

$$K = 1 - \tan^2 \phi$$

o, nel caso specifico, è possibile assegnare i seguenti valori proposti in tabella:

Palo	K	
	Terreno sciolto denso	Terreno
Acciaio	0.5	1
Calcestr. Pref.	1	2
Legno	1	3

Per pali trivellati

$$K = 1 - \sin\phi$$

δ = attrito palo-terreno funzione della scabrezza della superficie del palo;

Per pali infissi

$$\delta = 3/4 \tan\phi$$

Per pali trivellati

$$\delta = \tan\phi$$

α = coefficiente d'adesione ricavato come di seguito riportato:

Pali trivellati:

Caquot – Kerisel

$$\alpha = \frac{100 + c^2}{100 + 7c^2}$$

Meyerhof – Murdock (1963)

$$\alpha = 1 - 0.1 \cdot c \quad \text{per } c < 5 \text{ t/m}^2$$

$$\alpha = 0.525 - 0.005 \cdot c \quad \text{per } c \geq 5 \text{ t/m}^2$$

Whitaker – Cooke (1966)

$$\alpha = 0.9 \quad \text{per } c < 2.5 \text{ t/m}^2$$

$$\alpha = 0.8 \quad \text{per } 2.5 \leq c < 5 \text{ t/m}^2$$

$$\alpha = 0.6 \quad \text{per } 5 \leq c \leq 7.5 \text{ t/m}^2$$

$$\alpha = 0.9 \quad \text{per } c > 7.5 \text{ t/m}^2$$

Woodward (1961)

$$\alpha = 0.9 \quad \text{per } c < 4 \text{ t/m}^2$$

$$\alpha = 0.6 \text{ per } 4 \leq c < 8 \text{ t/m}^2$$

$$\alpha = 0.5 \text{ per } 8 \leq c < 12 \text{ t/m}^2$$

$$\alpha = 0.4 \text{ per } 12 \leq c \leq 20 \text{ t/m}^2$$

$$\alpha = 0.20 \text{ per } c > 20 \text{ t/m}^2$$

Pali infissi

Coefficiente α per palo infisso	
$2.5 \leq c < 5 \text{ t/m}^2$	$\alpha = 1.00$
$5 \leq c < 10$	$\alpha = 0.70$
$10 \leq c < 15$	$\alpha = 0.50$
$15 \leq c < 20$	$\alpha = 0.40$
$c \geq 20$	$\alpha = 0.30$

Attrito negativo

Quando un palo viene infisso o passa attraverso uno strato di materiale compressibile prima che si sia esaurito il processo di consolidazione, il terreno si muoverà rispetto al palo facendo insorgere sforzi attritivi tra palo e terreno che inducono al cosiddetto fenomeno dell'attrito negativo. L'effetto dell'attrito negativo è quello di aumentare il carico assiale sul palo, con conseguente aumento del cedimento, dovuto all'accorciamento elastico del palo stesso per effetto dell'aumento di carico. La forza che nasce per effetto dell'attrito negativo è stimata pari alla componente attritiva della resistenza laterale (vedi Resistenza del fusto) lungo la superficie laterale a contatto con lo strato in cui si genera tale fenomeno, ma di verso opposto all'attrito positivo. La risultante così determinata non viene detratta dal carico limite, ma da quello di esercizio.

Fattore di correzione in condizioni sismiche.

6.4.2 CRITERIO DI VESIC

Secondo questo autore per tenere conto del fenomeno della dilatanza nel calcolo della capacità portante è sufficiente diminuire di 2° l'angolo d'attrito degli strati di fondazione. Il limite di questo suggerimento è nel fatto che non tiene conto dell'intensità della sollecitazione sismica (espressa attraverso il parametro dell'accelerazione sismica orizzontale massima). Questo criterio pare però trovare conferma nelle osservazioni fatte in occasione di diversi eventi sismici.

6.4.3 CRITERIO DI SANO

L'autore propone di diminuire l'angolo d'attrito degli strati portanti di una quantità data dalla relazione:

$$D_p = \arctg\left(\frac{a_{max}}{\sqrt{2}}\right)$$

dove a_{max} è l'accelerazione sismica orizzontale massima.

Questo criterio, rispetto a quello di **Vesic**, ha il vantaggio di prendere in considerazione anche l'intensità della sollecitazione sismica. L'esperienza però dimostra che l'applicazione acritica di questa relazione può condurre a valori eccessivamente cautelativi di **Qlim**.

Le correzioni di **Sano** e di **Vesic** si applicano esclusivamente a terreni incoerenti ben addensati. È errato applicarle a terreni sciolti o mediamente addensati, dove le vibrazioni sismiche producono il fenomeno opposto a quello della dilatanza, con aumento del grado di addensamento e dell'angolo d'attrito.

6.4.4 CEDIMENTI METODO DI DAVIS-POULOS

Il cedimento verticale è stato calcolato con il metodo di *Davis-Poulos*, secondo il quale il palo viene considerato rigido (indeformabile) immerso in un mezzo elastico, semispazio o strato di spessore finito.

Si ipotizza che l'interazione palo-terreno sia costante a tratti lungo n superfici cilindriche in cui viene suddivisa la superficie laterale del palo.

Il cedimento della generica superficie i per effetto del carico trasmesso dal palo al terreno lungo la superficie j -esima può essere espresso:

$$W_{i,j} = (\tau_j / E) \cdot B \cdot I_{i,j}$$

Avendo indicato con:

τ_j = Incremento di tensione relativo al punto medio della striscia

E = Modulo elastico del terreno

B = Diametro del palo

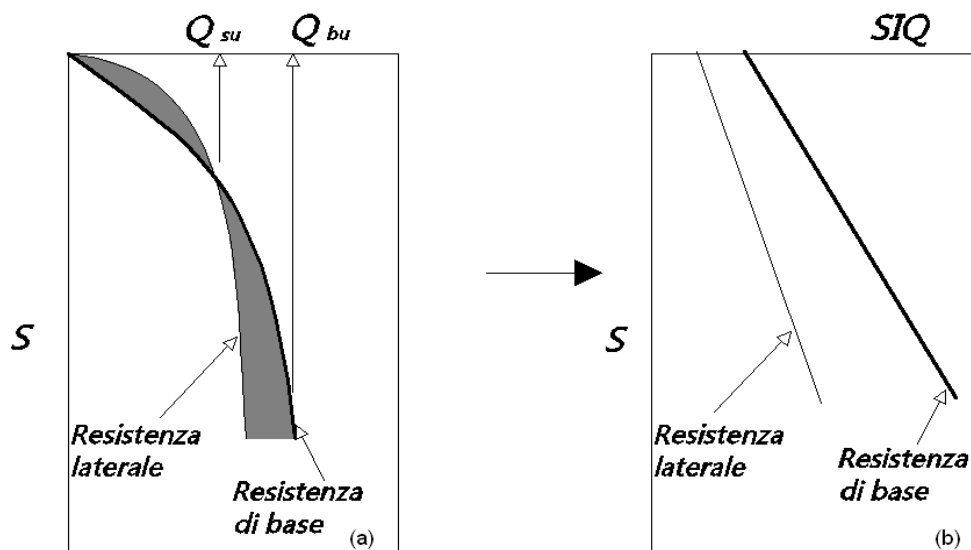
$I_{i,j}$ = Coefficiente di influenza

Il cedimento complessivo si ottiene sommando $W_{i,j}$ per tutte le j aree

6.4.5 CEDIMENTO METODO IPERBOLICO

Il metodo iperbolico modificato rappresenta uno sviluppo dello studio di Chin (1970,1972,1983) che consente di stimare il cedimento di pali singoli partendo dall'idea che il diagramma carico-cedimento, per il corpo di un palo e la sua base, abbia un andamento iperbolico. I valori del *carico ultimo laterale* (Q_{su}) e la *resistenza di base ultima* (Q_{bu}) rappresentano i termini asintotici della curva (figura a) (*Terzaghi, 1943*).

Sotto queste ipotesi è possibile giungere ad una rappresentazione linearizzata del problema considerando la variazione della quantità S/Q rispetto allo spostamento S (figura b).



Grafici cedimento iperbolico (a) e linearizzato (b).

Grafici cedimento iperbolico (a) e linearizzato (b)

Lo studio di *Fleming* ha dimostrato che gli spostamenti totali stimati col metodo di *Chin* erano distorti dall'*accorciamento elastico* del corpo del palo e suggerì una tecnica semplificata per la quale la deformazione elastica del palo può essere determinata, con sufficiente accuratezza, sottraendo alla stima di *Chin* l'accorciamento del palo.

Considerando lo schema in figura l'accorciamento elastico del palo dipende dal carico applicato Q in rapporto all'attrito laterale ultimo Q_{su} . In particolare se $Q \leq Q_{su}$ la deformazione elastica del corpo del palo corrisponde alla somma dell'accorciamento elastico lungo la zona ad *attrito basso o nullo* e quello che si sviluppa lungo la parte *attiva* del fusto:

$$S_e = \frac{4 Q (L_o + K_e L_a)}{\pi d_s^2 E_c}$$

Se, invece, si ha che $Q > Q_{su}$ bisogna considerare un ulteriore accorciamento legato alla parte attiva del palo che deve essere aggiunta alla deformazione elastica:

$$S_e = \frac{4}{\pi} \frac{1}{d_s^2 E_c} [Q(L_o + L_a) - L_a Q_{su} (1 - k_e)]$$

I parametri della formula sono:

- d_s : diametro testa del palo.
- E_c : modulo di elasticità del materiale del palo il cui valore può essere ricavato da una interpolazione lineare tra i valori di $E_c = 26 \cdot 10^6$ kN/m² per calcestruzzo con forza specifica di 20 N/mm² e il valore di

- $E_c = 40 \cdot 10^6$ kN/m² per calcestruzzo da 40 N/mm².
- L_o : lunghezza del palo ad attrito basso o nullo.
- L_a : lunghezza attiva del palo.
- k_e : rapporto della lunghezza equivalente del fusto del palo rispetto alla lunghezza attiva L_a . Si può considerare un valore di 0.5 quando si ha un attrito che si sviluppa uniformemente lungo L_a oppure quando il palo è inserito in sabbia o ghiaia. Per pali in argilla caratterizzati da uno sforzo che cresce in profondità si può usare un valore di 0.45.

Lo spostamento del *palo rigido* può essere calcolato sapendo che la somma dell'attrito laterale e della resistenza di base corrisponde al carico totale applicato alla testa del palo.

$$Q = Q_s + Q_b$$

Considerando il palo rigido lo spostamento totale in testa è uguale a quello che si ottiene lungo il fusto ed è uguale a quello misurato alla base del palo:

$$S_t = S_s = S_b$$

Dal grafico linearizzato si può vedere che lo spostamento lungo il fusto del palo può essere calcolato come:

$$S_s = \frac{M_s d_s Q_s}{Q_{su} - Q_s}$$

In cui

- M_s : fattore adimensionale di flessibilità terreno/fusto.
- d_s : diametro testa.
- Q_s : attrito.
- Q_{su} : attrito ultimo determinato col metodo statico (condizione drenata)

L'equazione dello spostamento alla base del palo ricavata da Fleming è:

$$S_b = \frac{0.6 Q_{bu} Q_b}{d_b E_b (Q_{bu} - Q_b)}$$

dove

- d_b : diametro della base del palo.
- Q_b : resistenza alla base.
- Q_{bu} : resistenza ultima alla base
- E_b : modulo di taglio corrispondente a $Q_{bu}/4$

Infine, ponendo la condizione di uguaglianza $S_s=S_b$ e considerando il carico totale applicato Q si ottiene lo spostamento totale di un palo rigido considerando solo i valori positivi della relazione:

$$S_t = \frac{-g \pm \sqrt{g^2 - 4fh}}{2f}$$

In cui le variabili sono così definite:

- $f = \eta(Q - \alpha) - \beta$
- $g = Q(\delta + \lambda\eta) - \alpha\delta - \beta\lambda$
- $h = \lambda\delta Q$
- $\alpha = Q_{su}$
- $\beta = d_b E_b Q_{bu}$
- $\lambda = M_s d_s$
- $\delta = 0.6 Q_{bu}$
- $\eta = d_b E_b$

Lo spostamento complessivo del palo comprende la componente di spostamento rigido e quella di accorciamento elastico.

Il modulo elastico del terreno E_b al di sotto della base del palo è legato alle caratteristiche del terreno ed è fortemente influenzato dalla tecnica di costruzione del palo. Fleming sostiene che è consigliabile che questo parametro di progetto sia determinato da un insieme accurato di prove in cui i pali sono caricati fino al punto in cui viene mobilitata una sostanziale quota della resistenza di punta. In mancanza di questi dati si può scegliere, cautelativamente, il valore di E_b da range di valori relativi al tipo di terreno e alla tecnica di costruzione del palo.

CARICO LIMITE ORIZZONTALE

Il carico limite orizzontale è stato calcolato secondo la teoria sviluppata da Broms il quale assume che il comportamento dell'interfaccia palo-terreno sia di tipo rigido perfettamente plastico, e cioè che la resistenza del terreno si mobilita interamente per un qualsiasi valore non nullo dello spostamento a rimanga costante al crescere dello spostamento stesso.

Si assume che il comportamento flessionale del palo sia di tipo rigido-perfettamente plastico, vale a dire che le rotazioni elastiche del palo sono trascurabili finché il momento flettente non raggiunge il valore M_y di plasticizzazione.

Per i terreni coesivi Broms propone di adottare una reazione del terreno costante con la profondità pari a:

$$p = 9 \cdot c_u \cdot B$$

con reazione nulla fino alla profondità di 1.5 d; avendo indicato con:

c_u = Coesione non drenata,

B = Diametro del palo

p = Reazione del terreno per unità di lunghezza del palo.

Per i terreni incoerenti si assume che la resistenza vari linearmente con la profondità secondo la legge:

$$p = 3K_p \gamma z \cdot B$$

avendo indicato con:

p = Reazione del terreno per unità di lunghezza del palo;

K_p = Coefficiente di spinta passiva;

γ = Peso unità di volume del terreno;

z = Profondità;

B = Diametro del palo.

Palo in condizioni d'esercizio

Analisi del palo in condizioni di esercizio: **Metodo degli elementi finiti.**

Il metodo degli elementi finiti modella il palo di fondazione, sottoposto a carichi trasversali, in modo realistico in quanto fa uso sia degli spostamenti che delle rotazioni ai nodi per definire la linea elastica del palo, pertanto rappresenta il metodo più razionale ed efficace attualmente disponibile per analizzare questo tipo di strutture.

Di seguito si richiamano i fondamenti teorici del metodo indicando con **P** la matrice delle forze nodali esterne, con **F** quella delle forze interne e con **A** la matrice dei coefficienti di influenza che, per l'equilibrio tra forze esterne ed interne, lega le prime due secondo la ben nota forma:

$$\mathbf{P} = \mathbf{A}\mathbf{F}$$

Gli spostamenti interni **e** (traslazioni e rotazioni) dell'elemento nel generico nodo sono legati agli spostamenti esterni **X** (traslazioni e rotazioni) applicati ai nodi, dalla seguente relazione:

$$\mathbf{e} = \mathbf{B}\mathbf{X}$$

dove la matrice **B** è dimostrato essere la trasposta della matrice **A**.

D'altra parte, le forze interne **F** sono legate agli spostamenti interni **e** dalla seguente espressione:

$$\mathbf{F} = \mathbf{S}\mathbf{e}$$

Applicando le consuete sostituzioni, si ottiene:

$$\mathbf{F} = \mathbf{S}\mathbf{A}^T\mathbf{X}$$

e quindi

$$\mathbf{P} = \mathbf{A}\mathbf{F} = \mathbf{A}\mathbf{S}\mathbf{A}^T\mathbf{X}$$

Pertanto, calcolando l'inversa della matrice $\mathbf{A}\mathbf{S}\mathbf{A}^T$ si ricava l'espressione degli spostamenti esterni \mathbf{X} :

$$\mathbf{X} = (\mathbf{A}\mathbf{S}\mathbf{A}^T)^{-1}\mathbf{P}$$

Noti, quindi, gli spostamenti \mathbf{X} è possibile ricavare le forze interne \mathbf{F} necessarie per il progetto della struttura.

La matrice $\mathbf{A}\mathbf{S}\mathbf{A}^T$ è nota come matrice di rigidezza globale in quanto caratterizza il legame tra spostamenti e forze esterni nodali.

Il metodo ad elementi finiti ha, tra l'altro, il vantaggio di consentire di mettere in conto, come condizioni al contorno, rotazioni e spostamenti noti.

Le reazioni nodali delle molle che schematizzano il terreno vengono considerate come forze globali legate al modulo di reazione e all'area d'influenza del nodo. Nella soluzione ad elementi finiti per pali soggetti a carichi trasversali, il modulo di reazione viene considerato nella forma:

$$k_S = A_S + B_S Z^n$$

o, non volendo far crescere illimitatamente il k_S con la profondità, nella forma:

$$k_S = A_S + B_S \tan^{-1}(Z/B)$$

nella quale Z è la profondità e B è il diametro del palo.

I valori di A_S e $B_S Z^n$ sono ottenuti dall'espressione della capacità portante (Bowles) con fattori correttivi s_j , d_j , e i_j pari a 1:

$$k_S = q_{ult}/\Delta H = C(cN_C + 0.5\gamma B N_\gamma)$$

$$B_S Z^n = C(\gamma N_q Z^1)$$

Dove $C = 40$ è ottenuto in corrispondenza di un cedimento massimo di 25 mm.

Momenti cinematici

In presenza dell'azione sismica la risposta del palo è il risultato di una complessa interazione terreno-palo, resa di difficile interpretazione a causa dei fenomeni di non linearità nel terreno e degli effetti cinematici associati al moto del terreno.

Generalmente, alle sollecitazioni trasmesse dalla sovrastuttura si aggiungono, applicando il principio di sovrapposizione degli effetti, quelle derivanti dall'interazione cinematica che produce nei pali sollecitazioni aggiuntive dipendenti principalmente dalla rigidezza relativa palo-terreno.

Dalla letteratura esistente in merito a questo tipo di studi, emerge che nel caso di palo immerso in terreni stratificati, la sollecitazione flettente subisce un pronunciato incremento in prossimità dell'interfaccia fra strati di differente rigidezza e tale incremento è tanto maggiore quanto più elevato è il contrasto di rigidezza. In alcuni casi il valore del momento prodotto da questo effetto potrebbe superare quello che insorge nei pali in testa in presenza di incastro.

Da un'analisi di numerosi risultati, *Nikolaou et al.2001*, ha proposto una relazione che consente di calcolare, in maniera approssimata, il momento flettente massimo in corrispondenza dell'interfaccia tra due strati di differente rigidezza, in condizioni di moto stazionario con frequenza prossima alla frequenza fondamentale del deposito in cui è immerso il palo:

$$M = 0.042 \cdot \tau_c \cdot d^3 \cdot \left(\frac{L}{d}\right)^{0.30} \cdot \left(\frac{E_p}{E_1}\right)^{0.65} \cdot \left(\frac{E_p}{E_1}\right)^{0.65} \cdot \left(\frac{V_{s2}}{V_1}\right)^{0.50}$$

in cui $\tau_c = a_{\max} \rho_1 H_1$; a_{\max} accelerazione sismica, ρ_1 densità del terreno, H_1 spessore dello strato, V_{s1} e V_{s2} , rispettivamente, la velocità delle onde di taglio nei due strati; E_1 è modulo di rigidezza dello strato superiore di terreno, E_p modulo di elasticità del palo, d diametro del palo, L lunghezza del palo.

Dati generali...

Diametro punta	0,01 m
Lunghezza	1,90 m
Tipo	Pali elica
Sporgenza dal terreno	2,70 m
Portanza di punta calcolata con:	Vesic

SISMA

Accelerazione sismica	0,002
Coefficiente di intensità sismico [Kh]	0,0004
Coefficiente di intensità sismico [Kv]	0,0002

Coefficienti sismici [N.T.C.]

Dati generali

Tipo opera: 2 - Opere ordinarie
Classe d'uso: Classe I
Vita nominale: 50,0 [anni]
Vita di riferimento: 35,0 [anni]

Parametri sismici su sito di riferimento

Categoria sottosuolo: B
Categoria topografica: T1

S.L. Stato limite	TR Tempo ritorno [anni]	ag [m/s ²]	F0 [-]	TC* [sec]
S.L.O.	30,0	0,015	2,331	0,156
S.L.D.	35,0	0,016	2,336	0,172
S.L.V.	332,0	0,042	2,495	0,416
S.L.C.	682,0	0,051	2,59	0,48

Coefficienti sismici orizzontali e verticali

Opera: Stabilità dei pendii e Fondazioni

S.L. Stato limite	amax [m/s ²]	beta [-]	kh [-]	kv [sec]
S.L.O.	0,018	0,2	0,0004	0,0002
S.L.D.	0,0192	0,2	0,0004	0,0002
S.L.V.	0,0504	0,2	0,001	0,0005
S.L.C.	0,0612	0,2	0,0012	0,0006

Archivio materiali

Conglomerati

Nr.	Classe Calcestruzzo	fck,cubi [Kg/cm ²]	Ec [Kg/cm ²]	fck [Kg/cm ²]	fcd [Kg/cm ²]	fctd [Kg/cm ²]	fctm [Kg/cm ²]
1	C20/25	250	299600	200	113,3	10,1	22,1
2	C25/30	300	314750	250	141,6	11,4	25,6
3	C28/35	350	323080	280	158,6	12,6	27,6
4	C40/50	500	352200	400	226,6	16,3	35

Acciai:

Nr.	Classe Acciaio	Es [Kg/cm ²]	fyk [Kg/cm ²]	fyd [Kg/cm ²]	ftk [Kg/cm ²]	ftd [Kg/cm ²]	ep_tk	epd_ult	β1*β2 in.	β1*β2 fin.
1	B450C	2000000	4500	3913	4500	3913	.075	.0675	1	0,5
2	B450C*	2000000	4500	3913	5400	4500	.075	.0675	1	0,5
3	B450C**	2000000	4500	3913	4582	3985	.012	.01	1	0,5
4	S235H	2141370	2447,28	2128,11	3670,92	2128,11	0,012	0,01	1	0,5
5	S275H	2141370	2855,16	2482,97	4384,71	2482,97	0,012	0,01	1	0,5
6	S355H	2141370	3670,92	3191,66	5200,47	3670,92	0,012	0,01	1	0,5

Stratigrafia

Nr.: Numero dello strato. Hs: Spessore dello strato. Fi: Angolo di attrito. c: Coesione Alfa: Coefficiente adesione attrito laterale. Vs: Velocità onde di taglio.

Strat. 1

Nr.	Hs	Peso unità di Volume [kg/m ³]	Peso Unità di volume Saturo [kg/m ³]	c [kg/cm ²]	Fi (°)	Attrito negativo	Alfa	Modulo elastico [kg/cm ²]	Vs [m/s]	Descrizione litologica
1	10,00	1989,00	2090,00	0,05	29,00	No	1,00	0,00	0	sabbia e ghiaia

Tipologia
Diametro esterno

PT
0,01 m

PALI ELICA

Diametro	0,35 m
Altezza elica	0,50 m
Spessore (ex)	176,00 mm
Spessore (in)	176,00 mm

Esclusione portata laterale	NO
Esclusione carico di punta	NO

TUBOLARE

Diametro esterno	0 mm
Spessore	0 mm
Peso	0,00 kg/m
Acciaio tipo	B450C

Nr.	Posizione elica, riferimento punta (m)	Numero di eliche	Attivata
1	0,10	2	SI
2	0,30	2	SI
3	0,50	2	SI
4	0,70	2	SI

Posizione elica, riferimento punta	0 m
Fattori capacità portante (Nc, Nq, Ng)	[9] [11,58] [0]
Pressione efficace	0,34 kg/cm ²
Carico limite verticale	8325,67 kg
Posizione elica, riferimento punta	0 m
Fattori capacità portante (Nc, Nq, Ng)	[9] [11,58] [0]
Pressione efficace	0,30 kg/cm ²
Carico limite verticale	7439,62 kg
Posizione elica, riferimento punta	1 m
Fattori capacità portante (Nc, Nq, Ng)	[9] [11,58] [0]
Pressione efficace	0,26 kg/cm ²
Carico limite verticale	6553,57 kg
Posizione elica, riferimento punta	1 m
Fattori capacità portante (Nc, Nq, Ng)	[9] [11,58] [0]
Pressione efficace	0,22 kg/cm ²
Carico limite verticale	5667,52 kg

Carico limite verticale totale. Apporto delle viti 27986,39 kg

Carico limite

Stratigrafia	Nq	Nc	Fi/C strato punta Palo (°)/[kg/cm ²]	Peso palo [kg]	Carico limite punta [kg]	Carico limite laterale [kg]	Carico limite [kg]	Attrito negativo [kg]	Carico limite orizzontale [kg]
A1+M1+R3	24,36	45,84	27/0,05	1,12	0,00	28054,01	28055,13	--	--

RESISTENZA DI PROGETTO CARICHI ASSIALI

Resistenza caratteristica carichi assiali. Nome combinazione: A1+M1+R3

Numero verticali di indagine	1
Fattore correlazione verticale indagate media (xi3)	1,70
Fattore correlazione verticale indagate minima (xi4)	1,70

Rc, Min [kg]	Rc, Media [kg]	Rc, Max [kg]

Trina Atena Solar S.r.l.

Sede Legale :
Piazza Borromeo 14,
20123 Milano,
P. IVA 11341420963



CODE

SCS.DES.R.CIV.ITA.P.2051.006.00

PAGE

25 di/of 42

Base	--	--	--
Laterale	28054,01	28054,01	28054,01
Totale	28055,13	28055,13	28055,13

Coefficiente parziale resistenza caratteristica

R3

Laterale

1,25

Resistenza di progetto laterale

13201,89 kg

Resistenza di progetto

13203,01 kg

Azioni di progetto

-8790,00 kg

Fattore sicurezza verticale

1,50

ARMATURE

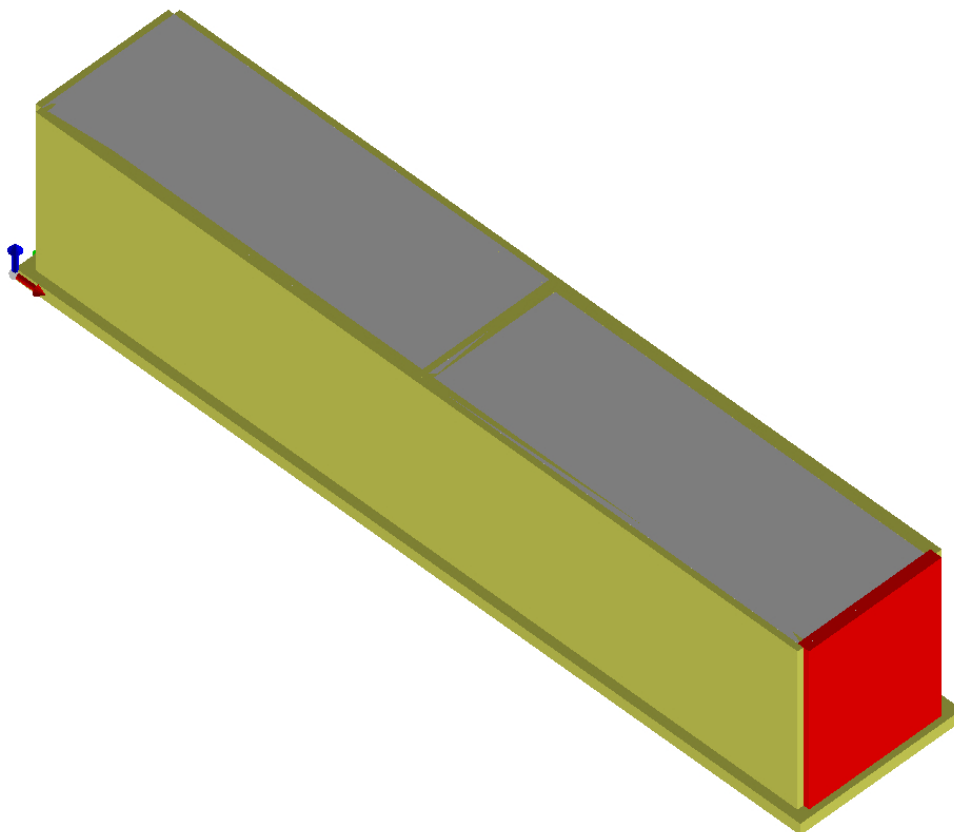
Nodo	Z [m]	Nd [kg]	Md [kgm]	Td [kg]	Nr. Barre Diametro	Nu [kg]	Mu [kgm]	Cond. Verifica Flessione	Ver. Presso-Flessione	Def.Ma x Cls	Def.Ma x Fe	Asse Neutro [cm]	Passo Staffe [cm]	Res. Taglio [kg]	Sicurezza taglio	Cond. Verifica Taglio
1	0	--	--	--	4Ø16	-0,22	2156,62	215,66	Verificata	3,50E-03	-5,80E-03	2,47	--	--	--	Verificata
2	0,25	19,63	--	--	4Ø16	20,50	2156,82	215,68	Verificata	3,50E-03	-5,80E-03	2,47	--	--	--	Verificata
3	0,5	39,27	--	--	4Ø16	39,82	2157,00	215,70	Verificata	3,50E-03	-5,79E-03	2,47	--	--	--	Verificata
4	0,81	63,95	--	--	4Ø16	64,67	2157,23	215,72	Verificata	3,50E-03	-5,79E-03	2,46	--	--	--	Verificata
5	1,13	88,64	--	--	4Ø16	89,51	2157,46	215,75	Verificata	3,50E-03	-5,79E-03	2,46	--	--	--	Verificata
6	1,44	113,32	--	--	4Ø16	112,96	2157,68	215,77	Verificata	3,50E-03	-5,78E-03	2,46	--	--	--	Verificata
7	1,76	138,01	--	--	4Ø16	137,78	2157,91	215,79	Verificata	3,50E-03	-5,78E-03	2,45	--	--	--	Verificata
8	2,07	162,69	--	--	4Ø16	162,60	2158,14	215,81	Verificata	3,50E-03	-5,77E-03	2,45	--	--	--	Verificata
9	2,39	187,37	--	--	4Ø16	187,41	2158,37	215,84	Verificata	3,50E-03	-5,77E-03	2,45	--	--	--	Verificata
10	2,76	212,06	--	--	4Ø16	212,21	2158,59	215,86	Verificata	3,50E-03	-5,76E-03	2,44	--	--	--	Verificata

6.5 CABINATI

Si è provveduto a modellare la struttura del cabinato al fine di realizzare le verifiche di geotecniche (portanza, scorrimento e cedimenti). La modellazione si è considerata l'effetto del sisma e la presenza della pressione generata dal vento. Si ricorda che tale struttura è di tipo prefabbricato, e i certificati relativi le qualità strutturali degli elementi saranno fornite dal produttore in fase di progettazione esecutiva.

L'analisi è stata effettuata tenendo in considerazione il cabinato con il rapporto peso-superficie più alto (il cabinato scelto viene riportato in grassetto), come si dettaglia nella tabella successiva:

Cabinato	Lungh (m)	Largh (m)	Superf (m ²)	Peso (kg)	Incidenza (kg/m)
Cab1500/2000 kVA	13,50	2,50	33,75	34000	1007
Cabina P57	8,00	3,50	28,00	22000	785
Cabina P67	9,00	3,50	31,50	25500	810



NORMATIVE DI RIFERIMENTO

In quanto di seguito riportato viene fatto esplicito riferimento alle seguenti Normative:

- **LEGGE n° 64 del 02/02/1974.** "Provvedimenti per le costruzioni, con particolari prescrizioni per le zone sismiche.";
- **D.M. LL.PP. del 11/03/1988.** "Norme tecniche riguardanti le indagini sui terreni e sulle rocce, la stabilità dei pendii naturali e delle scarpate, i criteri generali e le prescrizioni per la progettazione, l'esecuzione e il collaudo delle opere di sostegno delle terre e delle opere di fondazione.";
- **D.M. LL.PP. del 16/01/1996.** "Norme tecniche per le costruzioni in zone sismiche.";
- **Circolare Ministeriale LL.PP. n° 65/AA.GG. del 10/04/1997.** "Istruzioni per l'applicazione delle "Norme Tecniche per le costruzioni in zone sismiche" di cui al D.M. 16/01/1996.";
- **Eurocodice 1 - Parte 1** - "Basi di calcolo ed azioni sulle strutture - Basi di calcolo -.";
- **Eurocodice 7 - Parte 1** - "Progettazione geotecnica - Regole generali -.";
- **Eurocodice 8 - Parte 5** - "Indicazioni progettuali per la resistenza sismica delle strutture - Fondazioni, strutture di contenimento ed aspetti geotecnici -.";
- **D.M. 17/01/2018 - NUOVE NORME TECNICHE PER LE COSTRUZIONI**
- **Circolare n. 7 del 21/01/2019**

INDAGINI IN SITO E CARATTERIZZAZIONE GEOTECNICA DEI TERRENI DI FONDAZIONE

La finalità della presente relazione è quella di definire il comportamento meccanico del volume di terreno (volume significativo) influenzato direttamente o indirettamente dalla costruzione di un manufatto e che a sua volta influenza il comportamento strutturale del manufatto stesso. Di seguito si illustrano i risultati delle indagini geologiche eseguite, nonché l'interpretazione dei risultati ottenuti. Dal quadro generale in tal modo scaturito si definiscono le caratteristiche della fondazione da adottare ed il modello da utilizzare per le elaborazioni relative alla interazione sovrastruttura-fondazione e fondazione-terreno.

.....

.....

Le risultanze dell'indagine in sito hanno evidenziato che:

.....

.....

Di seguito si riportano alcuni cenni teorici relativi alle modalità di calcolo implementate e la descrizione della simbologia adottata nei tabulati.

CARICO LIMITE DI FONDAZIONI SUPERFICIALI SU TERRENI

Per la determinazione del carico limite del complesso terreno-fondazione (inteso come valore asintotico del diagramma carico-cedimento) si fa riferimento a due principali meccanismi di rottura: il "meccanismo generale" e quello di "punzonamento". Il primo è caratterizzato dalla formazione di una superficie di scorrimento: il terreno sottostante la fondazione rifluisce lateralmente e verso l'alto, conseguentemente il terreno circostante la fondazione è interessato da un meccanismo di sollevamento ed emersione della superficie di scorrimento. Il secondo meccanismo è caratterizzato dall'assenza di una superficie di scorrimento ben definita: il terreno sotto la fondazione si comprime ed in corrispondenza della superficie del terreno circostante la fondazione si osserva un abbassamento generalizzato. Quest'ultimo meccanismo non consente una precisa individuazione del carico limite in quanto la curva cedimenti-carico applicato non raggiunge mai un valore asintotico ma cresce indefinitamente. Vesic ha studiato il fenomeno della rottura per punzonamento assimilando il terreno ad un mezzo elasto-plastico e

la rottura per carico limite all'espansione di una cavità cilindrica. In questo caso il fenomeno risulta retto da un indice di rigidezza " I_r " così definito:

$$I_r = \frac{G}{c' + \sigma' \cdot \text{tg}(\varphi)}$$

Per la determinazione del modulo di rigidezza a taglio si utilizzeranno le seguenti relazioni:

$$G = \frac{E}{2 \cdot (1 + \nu)}; \quad E = E_{ed} \frac{1 - \nu - 2 \cdot \nu^2}{1 - \nu}; \quad \nu = \frac{k_0}{1 + k_0}; \quad k_0 = 1 - \text{sen}(\varphi).$$

L'indice di rigidezza viene confrontato con l'indice di rigidezza critico " $I_{r,crit}$ ":

$$I_{r,crit} = \frac{e^{\left[\left(3.3 - 0.45 \frac{B}{L} \right) \cdot \text{ctg} \left(45^\circ - \frac{\varphi}{2} \right) \right]}}{2}$$

La rottura per punzonamento del terreno di fondazione avviene quando l'indice di rigidezza è minore di quello critico. Tale teoria comporta l'introduzione di coefficienti correttivi all'interno della formula trinomia del carico limite detti "coefficienti di punzonamento" i quali sono funzione dell'indice di rigidezza, dell'angolo d'attrito e della geometria dell'elemento di fondazione. La loro espressione è la seguente:

- se $I_r < I_{r,crit}$ si ha :

$$\Psi_\gamma = \Psi_q = e^{\left[\left(0.6 \frac{B}{L} - 4.4 \right) \cdot \text{tg}(\varphi) + \frac{3.07 \cdot \text{sen}(\varphi) \cdot \log_{10}(2I_r)}{1 + \text{sen}(\varphi)} \right]} \quad \text{se } \varphi = 0 \Rightarrow \Psi_\gamma = \Psi_q = 1$$

$$\Psi_c = \Psi_q - \frac{1 - \Psi_q}{N_c \cdot \text{tg}(\varphi)} \quad \text{se } \varphi = 0 \Rightarrow \Psi_c = 0.32 + 0.12 \cdot \frac{B}{L} + 0.6 \cdot \log_{10}(I_r)$$

- se $I_r > I_{r,crit}$ si ha che $\Psi_g = \Psi_q = \Psi_c = 1$.

Il significato dei simboli adottati nelle equazioni sopra riportate è il seguente:

- E_{ed} modulo edometrico del terreno sottostante la fondazione
- ν coefficiente di Poisson del terreno sottostante la fondazione
- k_0 coefficiente di spinta a riposo del terreno sottostante la fondazione
- j angolo d'attrito efficace del terreno sottostante il piano di posa
- c' coesione (espressa in termini di tensioni efficaci)
- σ' tensione litostatica effettiva a profondità $D+B/2$
- L luce delle singole travi di fondazione
- D profondità del piano di posa della fondazione a partire dal piano campagna
- B larghezza della trave di fondazione

Definito il meccanismo di rottura, il calcolo del carico limite viene eseguito modellando il terreno come un mezzo rigido perfettamente plastico con la seguente espressione:

$$q_{ult} = \gamma_1 \cdot D \cdot N_q \cdot s_q \cdot d_q \cdot i_q \cdot \Psi_q + c \cdot N_c \cdot s_c \cdot d_c \cdot i_c \cdot \Psi_c + \gamma_2 \cdot \frac{B}{2} \cdot N_\gamma \cdot s_\gamma \cdot d_\gamma \cdot i_\gamma \cdot \Psi_\gamma \cdot r_\gamma$$

Il significato dei termini presenti nella relazione trinomia sopra riportata è il seguente:

- N_q, N_c, N_γ , fattori adimensionali di portanza funzione dell'angolo d'attrito interno j del terreno
- s_q, s_c, s_γ , coefficienti che rappresentano il fattore di forma
- d_q, d_c, d_γ , coefficienti che rappresentano il fattore dell'approfondimento
- i_q, i_c, i_γ , coefficienti che rappresentano il fattore di inclinazione del carico
- g_1 peso per unità di volume del terreno sovrastante il piano di posa
- g_2 peso per unità di volume del terreno sottostante il piano di posa

Per fondazioni aventi larghezza modesta si dimostra che il terzo termine non aumenta indefinitamente e per valori elevati di " B ", sia secondo Vesic che secondo de Beer, il valore limite è prossimo a quello di una

fondazione profonda. Bowles per fondazioni di larghezza maggiore di 2.00 metri propone il seguente fattore riduttivo:

$$r_\gamma = 1 - 0.25 \cdot \log_{10} \left(\frac{B}{2} \right) \quad \text{dove "B" va espresso in metri.}$$

Questa relazione risulta particolarmente utile per fondazioni larghe con rapporto D/B basso (platee e simili), caso nel quale il terzo termine dell'equazione trinomia è predominante.

Nel caso di carico eccentrico Meyerhof consiglia di ridurre le dimensioni della superficie di contatto (A_f) tra fondazione e terreno (B, L) in tutte le formule del calcolo del carico limite. Tale riduzione è espressa dalle seguenti relazioni:

$$B_{rid} = B - 2 \cdot e_B \quad L_{rid} = L - 2 \cdot e_L \quad \text{dove } e_B, e_L \text{ sono le eccentricità relative alle dimensioni in esame.}$$

L'equazione trinomia del carico limite può essere risolta secondo varie formulazioni, di seguito si riportano quelle che sono state implementate:

Formulazione di Hansen (1970)

$$N_q = \text{tg}^2 \left(\frac{90^\circ + \varphi}{2} \right) \cdot e^{\pi \cdot \text{tg}(\varphi)} \quad N_\gamma = 1.5 \cdot (N_q - 1) \cdot \text{tg}(\varphi) \quad N_c = (N_q - 1) \cdot \text{ctg}(\varphi)$$

- se $\phi \neq 0$ si ha:

$$s_q = 1 + \frac{B}{L} \cdot \text{tg}(\varphi) \quad s_\gamma = 1 - 0.4 \cdot \frac{B}{L} \quad s_c = 1 + \frac{N_q \cdot B}{N_c \cdot L}$$

$$d_q = 1 + 2 \cdot \text{tg}(\varphi) \cdot (1 - \text{sen}(\varphi))^2 \cdot \Theta \quad d_\gamma = 1.0 \quad d_c = 1 + 0.4 \cdot \Theta$$

$$\text{dove: se } \frac{D}{B} \leq 1 \Rightarrow \Theta = \frac{D}{B}, \text{ se } \frac{D}{B} > 1 \Rightarrow \Theta = \text{arctg} \left(\frac{D}{B} \right)$$

$$i_q = \left[1 - \frac{0.5 \cdot H}{V + A_f \cdot c_a \cdot \text{ctg}(\varphi)} \right]^{\alpha_1} \quad i_\gamma = \left[1 - \frac{0.7 \cdot H}{V + A_f \cdot c_a \cdot \text{ctg}(\varphi)} \right]^{\alpha_2} \quad i_c = i_q - \frac{1 - i_q}{N_q - 1}$$

- se $\phi = 0$ si ha:

$$s_q = 1.0 \quad s_\gamma = 1.0 \quad s_c = 1 + 0.2 \cdot \frac{B}{L}$$

$$d_q = 1.0 \quad d_\gamma = 1.0 \quad d_c = 1 + 0.4 \cdot \Theta$$

$$i_q = 1.0 \quad i_\gamma = 1.0 \quad i_c = 0.5 \cdot \left(1 + \sqrt{1 - \frac{H}{A_f \cdot c_a}} \right)$$

Formulazione di Vesic (1975)

$$N_q = \text{tg}^2 \left(\frac{90^\circ + \varphi}{2} \right) \cdot e^{\pi \cdot \text{tg}(\varphi)} \quad N_\gamma = 2 \cdot (N_q + 1) \cdot \text{tg}(\varphi) \quad N_c = (N_q - 1) \cdot \text{ctg}(\varphi)$$

- se $\phi \neq 0$ si ha:

$$s_q = 1 + \frac{B}{L} \cdot \text{tg}(\varphi) \quad s_\gamma = 1 - 0.4 \cdot \frac{B}{L} \quad s_c = 1 + \frac{N_q \cdot B}{N_c \cdot L}$$

$$d_q = 1 + 2 \cdot \text{tg}(\varphi) \cdot (1 - \text{sen}(\varphi))^2 \cdot \Theta \quad d_\gamma = 1.0 \quad d_c = 1 + 0.4 \cdot \Theta$$

$$\text{dove: se } \frac{D}{B} \leq 1 \Rightarrow \Theta = \frac{D}{B}, \text{ se } \frac{D}{B} > 1 \Rightarrow \Theta = \text{arctg} \left(\frac{D}{B} \right)$$

$$i_q = \left[1 - \frac{H}{V + A_f \cdot c_a \cdot \text{ctg}(\varphi)} \right]^m \quad i_\gamma = \left[1 - \frac{H}{V + A_f \cdot c_a \cdot \text{ctg}(\varphi)} \right]^{m+1} \quad i_c = i_q - \frac{1 - i_q}{N_q - 1}$$

$$\text{dove: } m = m_B = \frac{2 + \frac{B}{L}}{1 + \frac{B}{L}} \quad m = m_L = \frac{2 + \frac{L}{B}}{1 + \frac{L}{B}}$$

- se $\phi = 0$ si ha:

$$\begin{aligned} s_q &= 1.0 & s_\gamma &= 1.0 & s_c &= 1 + 0.2 \cdot \frac{B}{L} \\ d_q &= 1.0 & d_\gamma &= 1.0 & d_c &= 1 + 0.4 \cdot \Theta \\ i_q &= 1.0 & i_\gamma &= 1.0 & i_c &= 1 - \frac{m \cdot H}{A_f \cdot c_a \cdot N_c} \end{aligned}$$

Formulazione di Brinch-Hansen

$$N_q = \text{tg}^2\left(\frac{90^\circ + \phi}{2}\right) \cdot e^{\pi \cdot \text{tg}(\phi)} \quad N_\gamma = 2 \cdot (N_q + 1) \cdot \text{tg}(\phi) \quad N_c = (N_q - 1) \cdot \text{ctg}(\phi)$$

- se $\phi \neq 0$ si ha:

$$s_q = 1 + 0.1 \cdot \frac{B \cdot (1 + \text{sen}(\phi))}{L \cdot (1 - \text{sen}(\phi))} \quad s_\gamma = 1 + 0.1 \cdot \frac{B \cdot (1 + \text{sen}(\phi))}{L \cdot (1 - \text{sen}(\phi))} \quad s_c = 1 + 0.2 \cdot \frac{B \cdot (1 + \text{sen}(\phi))}{L \cdot (1 - \text{sen}(\phi))}$$

$$d_q = 1 + 2 \cdot \text{tg}(\phi) \cdot (1 - \text{sen}(\phi))^2 \cdot \Theta \quad d_\gamma = 1.0 \quad d_c = d_q - \frac{1 - d_q}{N_c \cdot \text{tg}(\phi)}$$

$$\text{dove: se } \frac{D}{B} \leq 1 \Rightarrow \Theta = \frac{D}{B}, \text{ se } \frac{D}{B} > 1 \Rightarrow \Theta = \text{arctg}\left(\frac{D}{B}\right)$$

$$i_q = \left[1 - \frac{H}{V + A_f \cdot c_a \cdot \text{ctg}(\phi)}\right]^m \quad i_\gamma = \left[1 - \frac{H}{V + A_f \cdot c_a \cdot \text{ctg}(\phi)}\right]^{m+1} \quad i_c = i_q - \frac{1 - i_q}{N_q - 1}$$

$$\text{dove: } m = m_B = \frac{2 + \frac{B}{L}}{1 + \frac{B}{L}} \quad m = m_L = \frac{2 + \frac{L}{B}}{1 + \frac{L}{B}}$$

- se $\phi = 0$ si ha:

$$\begin{aligned} s_q &= 1.0 & s_\gamma &= 1.0 & s_c &= 1 + 0.2 \cdot \frac{B}{L} \\ d_q &= 1.0 & d_\gamma &= 1.0 & d_c &= 1 + 0.4 \cdot \Theta \\ i_q &= 1.0 & i_\gamma &= 1.0 & i_c &= 1 - \frac{m \cdot H}{A_f \cdot c_a \cdot N_c} \end{aligned}$$

Formulazione Eurocodice 7

$$N_q = \text{tg}^2\left(\frac{90^\circ + \phi}{2}\right) \cdot e^{\pi \cdot \text{tg}(\phi)} \quad N_\gamma = 2 \cdot (N_q - 1) \cdot \text{tg}(\phi) \quad N_c = (N_q - 1) \cdot \text{ctg}(\phi)$$

- se $\phi \neq 0$ si ha:

$$s_q = 1 + \frac{B}{L} \cdot \text{sen}(\phi) \quad s_\gamma = 1 - 0.3 \cdot \frac{B}{L} \quad s_c = \frac{s_q \cdot (N_q - 1)}{N_q - 1}$$

$$d_q = 1 + 2 \cdot \text{tg}(\phi) \cdot (1 - \text{sen}(\phi))^2 \cdot \Theta \quad d_\gamma = 1.0 \quad d_c = 1 + 0.4 \cdot \Theta$$

$$\text{dove: se } \frac{D}{B} \leq 1 \Rightarrow \Theta = \frac{D}{B}, \text{ se } \frac{D}{B} > 1 \Rightarrow \Theta = \text{arctg}\left(\frac{D}{B}\right)$$

- se H è parallela al lato B si ha:

$$i_q = \left[1 - \frac{0.7 \cdot H}{V + A_f \cdot c_a \cdot ctg(\varphi)} \right]^3 \quad i_\gamma = \left[1 - \frac{H}{V + A_f \cdot c_a \cdot ctg(\varphi)} \right]^3 \quad i_c = \frac{i_q \cdot N_q - 1}{N_q - 1}$$

- se H è parallela al lato L si ha:

$$i_q = 1 - \frac{H}{V + A_f \cdot c_a \cdot ctg(\varphi)} \quad i_\gamma = 1 - \frac{H}{V + A_f \cdot c_a \cdot ctg(\varphi)} \quad i_c = \frac{i_q \cdot N_q - 1}{N_q - 1}$$

- se $\phi = 0$ si ha:

$$s_q = 1.0 \quad s_\gamma = 1.0 \quad s_c = 1 + 0.2 \cdot \frac{B}{L}$$

$$d_q = 1.0 \quad d_\gamma = 1.0 \quad d_c = 1 + 0.4 \cdot \Theta$$

$$i_q = 1.0 \quad i_\gamma = 1.0 \quad i_c = 0.5 \cdot \left(1 + \sqrt{1 - \frac{H}{A_f \cdot c_a}} \right)$$

Si ricorda che per le relazioni sopra riportate nel caso in cui $\phi = 0 \Rightarrow N_q = 1.0$, $N_\gamma = 1.0$ e $N_c = 2 + \pi$.

Il significato dei termini presenti nelle relazioni su descritte è il seguente:

- V componente verticale del carico agente sulla fondazione
- H componente orizzontale del carico agente sulla fondazione (sia lungo B che lungo L)
- c_a adesione fondazione-terreno (valore variabile tra il 60% e 100% della coesione)
- α_1, α_2 esponenti di potenza che variano tra 2 e 5

Nel caso in cui il cuneo di fondazione sia interessato da falda idrica il valore di γ_2 nella formula trinomia assume la seguente espressione:

$$\gamma_2 = \frac{\gamma \cdot z + \gamma_{sat} \cdot (h_c - z)}{h_c} \quad h_c = \frac{B}{2} \cdot tg\left(\frac{90 + \varphi}{2}\right)$$

dove i termini dell'espressione hanno il seguente significato:

- γ peso per unità di volume del terreno sottostante il piano di posa
- γ_{sat} peso per unità di volume saturo del terreno sottostante il piano di posa
- z profondità della falda dal piano di posa
- h_c altezza del cuneo di rottura della fondazione

Tutto ciò che è stato detto sopra è valido nell'ipotesi di terreno con caratteristiche geotecniche omogenee. Nella realtà i terreni costituenti il piano di posa delle fondazioni sono quasi sempre composti, o comunque riconducibili, a formazioni di terreno omogenee di spessore variabile che si sovrappongono (caso di terreni stratificati). In queste condizioni i parametri vengono determinati con la seguente procedura:

- viene determinata l'altezza del cuneo di rottura in funzione delle caratteristiche geotecniche degli strati attraversati; quindi si determinano il numero degli strati interessati da esso
- in corrispondenza di ogni superficie di separazione, partendo da quella immediatamente sottostante il piano di posa della fondazione, fino a raggiungere l'altezza del cuneo di rottura, viene determinata la capacità portante di ogni singolo strato come somma di due valori: il primo dato dall'applicazione della formula trinomia alla quota i -esima dello strato; il secondo dato dalla resistenza al punzonamento del terreno sovrastante lo strato in esame
- il minimo di questi due valori sarà assunto come valore massimo della capacità portante della fondazione stratificata

Si può formulare il procedimento anche in forma analitica:

$$q'_{ult} = [q''_{ult} + q_{resT}]_{\min} = \left[q''_{ult} + \frac{P}{A_f} (P_V \cdot K_s \cdot tg(\varphi) + d \cdot c) \right]_{\min}$$

dove i termini dell'espressione hanno il seguente significato:

- q''_{ult} carico limite per un'ipotetica fondazione posta alla quota dello strato interessato

- p perimetro della fondazione
- P_v spinta verticale del terreno dal piano di posa allo strato interessato
- K_s coefficiente di spinta laterale del terreno
- d distanza dal piano di posa allo strato interessato

CARICO LIMITE DI FONDAZIONI SUPERFICIALI SU ROCCIA

Per la determinazione del carico limite nel caso di presenza di ammasso roccioso bisogna valutare molto attentamente il grado di solidità della roccia stessa. Tale valutazione viene in genere eseguita stimando l'indice RQD (Rock Quality Designation) che rappresenta una misura della qualità di un ammasso roccioso. Tale indice può variare da un minimo di 0 (caso in cui la lunghezza dei pezzi di roccia estratti dal carotiere è inferiore a 100 mm) ad un massimo di 1 (caso in cui la carota risulta integra) ed è calcolato nel seguente modo:

$$RQD = \frac{\sum \text{lunghezze dei pezzi di roccia intatta } > 100\text{mm}}{\text{lunghezza del carotiere}}$$

Se il valore di RQD è molto basso la roccia è molto fratturata ed il calcolo della capacità portante dell'ammasso roccioso va condotto alla stregua di un terreno sciolto utilizzando tutte le formulazioni sopra descritte.

Per ricavare la capacità portante di rocce non assimilabili ad ammassi di terreno sciolto sono state implementate due formulazioni: quella di Terzaghi (1943) e quella di Stagg-Zienkiewicz (1968), entrambe correlate all'indice RQD . In definitiva il valore della capacità portante sarà espresso dalla seguente relazione:

$$q'_{ult} = q''_{ult} \cdot RQD^2$$

dove i termini dell'espressione hanno il seguente significato:

- q'_{ult} carico limite dell'ammasso roccioso
- q''_{ult} carico limite calcolato alla Terzaghi o alla Stagg-Zienkiewicz

In questo caso l'equazione trinomia del carico limite assume la seguente forma:

$$q''_{ult} = \gamma_1 \cdot D \cdot N_q + c \cdot N_c \cdot s_c + \gamma_2 \cdot \frac{B}{2} \cdot N_\gamma \cdot s_\gamma$$

I termini presenti nell'equazione hanno lo stesso significato già visto in precedenza; i coefficienti di forma assumeranno i seguenti valori:

- $s_c = 1.0$ per fondazioni di tipo nastriforme
- $s_c = 1.3$ per fondazioni di tipo quadrato;
- $s_\gamma = 1.0$ per fondazioni di tipo nastriforme
- $s_\gamma = 0.8$ per fondazioni di tipo quadrato.

I fattori adimensionali di portanza a seconda della formulazione adottata saranno:

Formulazione di Terzaghi (1943)

$$N_q = \frac{e^{2 \left(0.75 \cdot \pi - \frac{\varphi}{2} \right) \cdot \text{tg}(\varphi)}}{2 \cdot \cos^2 \left(\frac{90^\circ + \varphi}{2} \right)} \quad N_\gamma = \frac{\text{tg}(\varphi)}{2} \left(\frac{K_{p\gamma}}{\cos^2(\varphi)} - 1 \right) \quad N_c = (N_q - 1) \cdot \text{ctg}(\varphi)$$

se $\varphi = 0 \Rightarrow N_c = 1.5 \cdot \pi + 1$

ϕ	0	5	10	15	20	25	30	35	40	45	50
K_{py}	10.8	12.2	14.7	18.6	25.0	35.0	52.0	82.0	141.0	298.0	800.0

Formulazione di Stagg-Zienkiewicz (1968)

$$N_q = \text{tg}^6\left(\frac{90^\circ + \varphi}{2}\right) \quad N_\gamma = N_q + 1 \quad N_c = 5 \cdot \text{tg}^4\left(\frac{90^\circ + \varphi}{2}\right)$$

VERIFICA A ROTTURA PER SCORRIMENTO DI FONDAZIONI SUPERFICIALI

Se il carico applicato alla base della fondazione non è normale alla stessa bisogna effettuare anche una verifica per rottura a scorrimento. Rispetto al collasso per scorrimento la resistenza offerta dal sistema fondale viene valutata come somma di due componenti: la prima derivante dall'attrito fondazione-terreno, la seconda derivante dall'adesione. In generale, oltre a queste due componenti, può essere tenuto in conto anche l'effetto della spinta passiva del terreno di ricoprimento esercita sulla fondazione fino ad un massimo del 30%. La formulazione analitica della verifica può essere esposta nel seguente modo:

$$T_{Sd} \leq T_{Rd} = N_{Sd} \cdot \text{tg}(\delta) + A_f \cdot c_a + S_p \cdot f_{Sp}$$

dove i termini dell'espressione hanno il seguente significato:

- T_{Sd} componente orizzontale del carico agente sulla fondazione (sia lungo B che lungo L)
- N_{Sd} componente verticale del carico agente sulla fondazione
- c_a adesione fondazione-terreno (valore variabile tra il 60% e 100% della coesione)
- δ angolo d'attrito fondazione-terreno (valore variabile tra il 60% e 100% della coesione)
- S_p spinta passiva del terreno di ricoprimento della fondazione
- f_{Sp} percentuale di partecipazione della spinta passiva
- A_f superficie di contatto del piano di posa della fondazione

La verifica deve essere effettuata sia per componenti taglianti parallele alla base della fondazione che per quelle ortogonali.

DETERMINAZIONE DELLE TENSIONI INDOTTE NEL TERRENO

Ai fini del calcolo dei cedimenti è essenziale conoscere lo stato tensionale indotto nel terreno a varie profondità da un carico applicato in superficie. Tale determinazione viene eseguita ipotizzando che il terreno si comporti come un mezzo continuo, elastico-lineare, omogeneo e isotopo. Tale assunzione, utilizzata per la determinazione della variazione delle tensioni verticali dovuta all'applicazione di un carico in superficie, è confortata dalla letteratura (Morgenstern e Phukan) perché la non linearità del materiale poco influenza la distribuzione delle tensioni verticali. Per ottenere un profilo verticale di pressioni si possono utilizzare tre metodi di calcolo: quello di Boussinesq, quello di Westergaard oppure quello di Mindlin; tutti basati sulla teoria del continuo elastico. Il metodo di Westergaard differisce da quello di Boussinesq per la presenza del coefficiente di Poisson "ν", quindi si adatta meglio ai terreni stratificati. Il metodo di Mindlin differisce dai primi due per la possibilità di posizionare il carico all'interno del continuo elastico mentre i primi due lo pongono esclusivamente sulla frontiera quindi si presta meglio al caso di fondazioni molto profonde. Nel caso di fondazioni poste sulla frontiera del continuo elastico il metodo di Mindlin risulta equivalente a quello di Boussinesq. Le espressioni analitiche dei tre metodi di calcolo sono:

$$\text{Boussinesq} \Rightarrow \Delta\sigma_v = \frac{3 \cdot Q \cdot z^3}{2 \cdot \pi \cdot (r^2 + z^2)^{\frac{5}{2}}} \quad \text{Westergaard} \Rightarrow \Delta\sigma_v = \frac{Q}{2 \cdot \pi \cdot z^2} \cdot \frac{\sqrt{\frac{1-2 \cdot \nu}{2-2 \cdot \nu}}}{\left(\frac{1-2 \cdot \nu}{2-2 \cdot \nu} + \frac{r^2}{z^2}\right)^{\frac{3}{2}}}$$

dove i termini dell'espressioni hanno il seguente significato:

- Q carico puntiforme applicato sulla frontiera del mezzo
- r proiezione orizzontale della distanza del punto di applicazione del carico dal punto in esame
- z proiezione verticale della distanza del punto di applicazione del carico dal punto in esame

$$\text{Mindlin} \Rightarrow \Delta\sigma_v = \frac{Q}{8 \cdot \pi \cdot (1-\nu) \cdot D^2} \left(-\frac{(1-2 \cdot \nu) \cdot (m-1)}{A^3} + \frac{(1-2 \cdot \nu) \cdot (m-1)}{B^3} - \frac{3 \cdot (m-1)^3}{A^5} - \frac{30 \cdot m \cdot (m+1)^3}{B^7} - \frac{3 \cdot (3-4 \cdot \nu) \cdot m \cdot (m+1)^2 - 3 \cdot (m+1) \cdot (5 \cdot m-1)}{B^5} \right)$$

$$n = \frac{r}{D}; \quad m = \frac{z}{D}; \quad A^2 = n^2 + (m-1)^2; \quad B^2 = n^2 + (m+1)^2$$

dove i termini dell'espressioni hanno il seguente significato:

- Q carico puntiforme applicato sulla frontiera o all'interno del mezzo
- D proiezione verticale della distanza del punto di applicazione del carico dalla frontiera del mezzo
- r proiezione orizzontale della distanza del punto di applicazione del carico dal punto in esame
- z proiezione verticale della distanza del punto di applicazione del carico dal punto in esame

Basandosi sulle ben note equazioni ricavate per un carico puntiforme, l'algoritmo implementato esegue un'integrazione delle equazioni di cui sopra lungo la verticale di ogni punto notevole degli elementi fondali estesa a tutte le aree di carico presenti sulla superficie del terreno; questo consente di determinare la variazione dello stato tensionale verticale " $\Delta\sigma_v$ ". Bisogna sottolineare che, nel caso di pressione, " Q " va definito come "pressione netta", ossia la pressione in eccesso rispetto a quella geostatica esistente che può essere sopportata con sicurezza alla profondità " D " del piano di posa delle fondazioni. Questo perché i cedimenti sono causati solo da incrementi netti di pressione che si aggiungono all'esistente pressione geostatica.

CALCOLO DEI CEDIMENTI DELLA FONDAZIONE

La determinazione dei cedimenti delle fondazioni assume una rilevanza notevole per il manufatto da realizzarsi, in special modo nella fase di esercizio. Nell'evolversi della fase di cedimento il terreno passa da uno stato di sforzo corrente dovuto al peso proprio ad uno nuovo dovuto all'effetto del carico addizionale applicato. Questa variazione dello stato tensionale produce una serie di movimenti di rotolamento e scorrimento relativo tra i granuli del terreno, nonché deformazioni elastiche e rotture delle particelle costituenti il mezzo localizzate in una limitata zona d'influenza a ridosso dell'area di carico. L'insieme di questi fenomeni costituisce il cedimento che nel caso in esame è verticale. Nonostante la frazione elastica sia modesta, l'esperienza ha dimostrato che ai fini del calcolo dei cedimenti modellare il terreno come materiale pseudoelastico permette di ottenere risultati soddisfacenti. In letteratura sono descritti diversi metodi per il calcolo dei cedimenti ma si ricorda che, qualunque sia il metodo di calcolo, la determinazione del valore del cedimento deve intendersi come la miglior stima delle deformazioni subite dal terreno da attendersi all'applicazione dei carichi. Nel seguito vengono descritte le teorie implementate:

Metodo edometrico, che si basa sulla nota relazione:

$$w_{ed} = \sum_{i=1}^n \frac{\Delta\sigma_{v,i}}{E_{ed,i}} \cdot \Delta z_i$$

dove i termini dell'espressioni hanno il seguente significato:

- $\Delta\sigma_{v,i}$ variazione dello stato tensionale verticale alla profondità " z_i " dello strato i -esimo per l'applicazione del carico
- $E_{ed,i}$ modulo edometrico del terreno relativo allo strato i -esimo

- Δz_i spessore dello strato i-esimo

Si ricorda che questo metodo si basa sull'ipotesi edometrica quindi l'accuratezza del risultato è maggiore quando il rapporto tra lo spessore dello strato deformabile e la dimensione in pianta delle fondazioni è ridotto, tuttavia il metodo edometrico consente una buona approssimazione anche nel caso di strati deformabili di spessore notevole.

Metodo dell'elasticità, che si basa sulle note relazioni:

$$w_{\text{Imp.}} = \sum_{i=1}^n \frac{\Delta \sigma_{v,i}}{E_i} \cdot \Delta z_i \quad w_{\text{Lib.}} = \sum_{i=1}^n \frac{\Delta \sigma_{v,i}}{E_i} \cdot \frac{1-2 \cdot \nu^2}{1-\nu} \cdot \Delta z_i$$

dove i termini dell'espressioni hanno il seguente significato:

- $w_{\text{Imp.}}$ cedimento in condizioni di deformazione laterale impedita
- $w_{\text{Lib.}}$ cedimento in condizioni di deformazione laterale libera
- $\Delta \sigma_{v,i}$ variazione stato tensionale verticale alla profondità "z_i" dello strato i-esimo per l'applicazione del carico
- E_i modulo elastico del terreno relativo allo strato i-esimo
- Δz_i spessore dello strato i-esimo

La doppia formulazione adottata consente di ottenere un intervallo di valori del cedimento elastico per la fondazione in esame (valore minimo per $w_{\text{Imp.}}$ e valore massimo per $w_{\text{Lib.}}$).

SIMBOLOGIA ADOTTATA NEI TABULATI DI CALCOLO

Per maggior chiarezza nella lettura dei tabulati di calcolo viene riportata la descrizione dei simboli principali utilizzati nella stesura degli stessi. Per comodità di lettura la legenda è suddivisa in paragrafi con la stessa modalità in cui sono stampati i tabulati di calcolo.

Dati geometrici degli elementi costituenti le fondazioni superficiali

per tipologie travi e plinti superficiali:

- Indice Strat. indice della stratigrafia associata all'elemento
- Prof. Fon. profondità del piano di posa dell'elemento a partire dal piano campagna
- Base larghezza della sezione trasversale dell'elemento
- Altezza altezza della sezione trasversale dell'elemento
- Lung. Elem. dimensione dello sviluppo longitudinale dell'elemento
- Lung. Travata nel caso l'elemento appartenga ad un macroelemento, rappresenta la dimensione dello sviluppo longitudinale del macroelemento

per tipologia platea:

- Indice Strat. indice della stratigrafia associata all'elemento
- Prof. Fon. profondità del piano di posa dell'elemento dal piano campagna
- Dia. Eq. diametro del cerchio equivalente alla superficie dell'elemento
- Spessore spessore dell'elemento
- Superficie superficie dell'elemento
- Vert. Elem. Numero dei vertici che costituiscono l'elemento
- Macro nel caso l'elemento appartenga ad un macroelemento, rappresenta il numero del macroelemento

Nel caso si avesse scelto di determinare la portanza anche per gli elementi platea è presente un ulteriore

riga nella quale sono riportate le caratteristiche geometriche del plinto equivalente alla macro/platea in esame.

Dati di carico degli elementi costituenti le fondazioni superficiali*per tipologie travi e plinti superficiali:*

- Cmb numero della combinazione di carico
- Tipologia tipologia della combinazione di carico
- Sismica flag per l'applicazione della riduzione sismica alle caratteristiche meccaniche del terreno di fondazione per la combinazione di carico in esame
- Ecc. B eccentricità del carico normale agente sul piano di fondazione in direzione parallela alla sezione trasversale dell'elemento
- Ecc. L eccentricità del carico normale agente sul piano di fondazione in direzione parallela allo sviluppo longitudinale dell'elemento
- S.Taglio B sforzo di taglio agente sul piano di fondazione in direzione parallela alla sezione trasversale dell'elemento
- S.Taglio L sforzo di taglio agente sul piano di fondazione in direzione parallela allo sviluppo longitudinale dell'elemento
- S.Normale carico normale agente sul piano di fondazione
- T.T.min minimo valore della distribuzione tensionale di contatto tra terreno ed elemento fondale
- T.T.max massimo valore della distribuzione tensionale di contatto tra terreno ed elemento fondale

per tipologia platea:

- Cmb numero della combinazione di carico
- Tipologia tipologia della combinazione di carico
- Sismica flag per l'applicazione della riduzione sismica alle caratteristiche meccaniche del terreno di fondazione per la combinazione di carico in esame
- Press. N1 tensione di contatto tra terreno e fondazione nel vertice n° 1 dell'elemento
- Press. N2 tensione di contatto tra terreno e fondazione nel vertice n° 2 dell'elemento
- Press. N3 tensione di contatto tra terreno e fondazione nel vertice n° 3 dell'elemento
- Press. N4 tensione di contatto tra terreno e fondazione nel vertice n° 4 dell'elemento
- S.Taglio X sforzo di taglio agente sul piano di fondazione in direzione parallela all'asse X del riferimento globale
- S.Taglio Y sforzo di taglio agente sul piano di fondazione in direzione parallela all'asse Y del riferimento globale

Nel caso si avesse scelto di determinare la portanza anche per gli elementi platea è presente un ulteriore riga nella quale sono riportate le macroazioni (integrale delle azioni applicate sui singoli elementi che compongono la platea) agenti sul plinto equivalente alla macro/platea in esame.

Valori di calcolo della portanza per fondazioni superficiali

- Cmb numero della combinazione di carico
- Qlim capacità portante totale data dalla somma di Qlim q, Qlim g, Qlim c e di Qres P (nel caso in cui si operi alle tensioni ammissibili corrisponde alla portanza ammissibile)
- Qlim q termine relativo al sovraccarico della formula trinomia per il calcolo della capacità portante (nel caso in cui si operi alle tensioni ammissibili corrisponde alla relativa parte della portanza ammissibile)

- Qlim g termine relativo alla larghezza della base di fondazione della formula trinomia per il calcolo della capacità portante (nel caso in cui si operi alle tensioni ammissibili corrisponde alla relativa parte della portanza ammissibile)
- Qlim c termine relativo alla coesione della formula trinomia per il calcolo della capacità portante (nel caso in cui si operi alle tensioni ammissibili corrisponde alla relativa parte della portanza ammissibile)
- Qres P termine relativo alla resistenza al punzonamento del terreno sovrastante lo strato di rottura. Diverso da zero solo nel caso di terreni stratificati dove lo strato di rottura è diverso dal primo (nel caso in cui si operi alle tensioni ammissibili corrisponde alla relativa parte della portanza ammissibile)
- Qmax / Qlim rapporto tra il massimo valore della distribuzione tensionale di contatto tra terreno ed elemento fondale ed il valore della capacità portante (verifica positiva se il rapporto è < 1.0).
- TBlim valore limite della resistenza a scorrimento in direzione parallela alla sezione trasversale dell'elemento
- TB / TBlim rapporto tra lo sforzo di taglio agente ed il valore limite della resistenza a scorrimento in direzione parallela alla sezione trasversale dell'elemento (verifica positiva se il rapporto è < 1.0)
- TLlim valore limite della resistenza a scorrimento in direzione parallela allo sviluppo longitudinale dell'elemento
- TL / TLlim rapporto tra lo sforzo di taglio agente ed il valore limite della resistenza a scorrimento in direzione parallela allo sviluppo longitudinale dell'elemento (verifica positiva se il rapporto è < 1.0)
- Sgm. Lt. tensione litostatica agente alla quota del piano di posa dell'elemento fondale

Nel caso si avesse scelto di determinare la portanza anche per gli elementi platea è presente un'ulteriore riga nella quale sono riportate le verifiche di portanza del plinto equivalente alla macro/platea in esame.

Valori di calcolo dei cedimenti per fondazioni superficiali

- Cmb numero della combinazione di carico e tipologia
- Nodo vertice dell'elemento in cui viene calcolato il cedimento
- Car. Netto valore del carico netto applicato sulla superficie del terreno
- Cedimento/i valore del cedimento (nel caso di calcolo di cedimenti elastici i valori riportati sono due, il primo corrisponde al cedimento $w_{imp.}$, mentre il secondo al cedimento $w_{Lib.}$)

PARAMETRI DI CALCOLO

Metodi di calcolo della portanza per fondazioni superficiali:

- Per terreni sciolti: Vesic
- Per terreni lapidei: Terzaghi

Fattori utilizzati per il calcolo della portanza per fondazioni superficiali :

- Riduzione dimensioni per eccentricità: si
- Fattori di forma della fondazione: si
- Fattori di profondità del piano di posa: si
- Fattori di inclinazione del carico: si
- Fattori di punzonamento (Vesic): si
- Fattore riduzione effetto piastra (Bowles): si

- Fattore di riduzione dimensione Base equivalente platea: 20,0 %
- Fattore di riduzione dimensione Lunghezza equivalente platea: 20,0 %

Coefficienti parziali di sicurezza per Tensioni Ammissibili, SLE nel calcolo della portanza per fondazioni superficiali:

- Coeff. parziale di sicurezza Fc (statico): 2,50
- Coeff. parziale di sicurezza Fq (statico): 2,50
- Coeff. parziale di sicurezza Fg (statico): 2,50
- Coeff. parziale di sicurezza Fc (sismico): 3,00
- Coeff. parziale di sicurezza Fq (sismico): 3,00
- Coeff. parziale di sicurezza Fg (sismico): 3,00

Combinazioni di carico:**APPROCCIO PROGETTUALE TIPO 2 - Comb. (A1+M1+R3)**

Coefficienti parziali di sicurezza per SLU nel calcolo della portanza per fondazioni superficiali :

I coeff. A1 risultano combinati secondo lo schema presente nella relazione di calcolo della struttura.

- Coeff. M1 per Tan f (statico): 1
- Coeff. M1 per c' (statico): 1
- Coeff. M1 per Cu (statico): 1
- Coeff. M1 per Tan f (sismico): 1
- Coeff. M1 per c' (sismico): 1
- Coeff. M1 per Cu sismico): 1

- Coeff. R3 capacità portante (statico e sismico): 2,30
- Coeff. R3 scorrimento (statico e sismico): 1,10

Parametri per la verifica a scorrimento delle fondazioni superficiali:

- Fattore per l'adesione ($6 < Ca < 10$): 8
- Fattore per attrito terreno-fondazione ($5 < Delta < 10$): 7
- Frazione di spinta passiva fSp: 50,00 %
- Coeff. resistenza sulle sup. laterali: 1,30

Metodi e parametri per il calcolo dei cedimenti delle fondazioni superficiali:

- Metodo di calcolo tensioni superficiali: Boussinesq
- Modalità d'interferenza dei bulbi tensionali: Boussinesq
- Metodo di calcolo dei cedimenti del terreno: cedimenti edometrici

ARCHIVIO STRATIGRAFIE

Indice / Descrizione: 001 / Nuova stratigrafia n. 1

Numero strati: 1

Profondità falda: assente

Strato n.	Quota di riferimento	Spessore	Indice / Descrizione terreno	Attrito Neg.
1	da 0,0 a -1000,0 cm	1000,0 cm	001 / DEPOSITI DI TERRAZZO	Assente

ARCHIVIO TERRENI

Indice / Descrizione terreno: **001 / DEPOSITI DI TERRAZZO**

Comportamento del terreno: condizione drenata

Peso Spec.	P. Spec.	Sat.	Angolo Res.	Coesione	Mod.Elast.	Mod.Edom.	Dens.Rel.	Poisson	C. Ades.
daN/cmc	daN/cmc		Gradi°	daN/cm ^q	daN/cm ^q	daN/cm ^q	%	%	
2,300 E-3	2,050 E-3		29,000	0,046	97,455	150,000	60,0	0,340	0,95

DATI GEOMETRICI DEGLI ELEMENTI COSTITUENTI LE FONDAZIONI SUPERFICIALI

Elemento n.	Tipologia	Id.Strat.	Prof. Fon. cm	Dia. Eq. cm	Spessore cm ²	Superficie n. per elem.	Vertici n.	Macro
Platea n. 1	Platea	001	10.250	80.582	20.000	5099.985	4	1
Platea n. 2	Platea	001	10.250	104.031	20.000	8499.999	3	1
Platea n. 4	Platea	001	10.250	102.490	20.000	8249.961	3	1
Platea n. 5	Platea	001	10.250	439.634	20.000	151800.000	4	1
Platea n. 10	Platea	001	10.250	102.490	20.000	8250.000	3	1
Platea n. 11	Platea	001	10.250	104.031	20.000	8499.960	3	1
Platea n. 12	Platea	001	10.250	80.582	20.000	5099.999	4	1
Platea n. 13	Platea	001	10.250	146.037	20.000	16750.000	4	1
Platea n. 14	Platea	001	10.250	439.634	20.000	151800.000	4	1
Platea n. 17	Platea	001	10.250	146.037	20.000	16749.920	4	1

Elemento n.	Tipologia	Id.Strat.	Prof. Fon. cm	Base Eq. cm	Spessore cm	Lung. Eq. cm	Lung. Travata Eq. cm
Macro n. 1	Macro-Platea	001	10.250	224.000	20.000	1088.000	1088.000

VALORI DI CALCOLO DELLA PORTANZA PER FONDAZIONI SUPERFICIALI

I coeff. A1 risultano combinati secondo lo schema presente nella relazione di calcolo della struttura. Le azioni trasmesse in fondazione, relative alle combinazioni di tipo sismico, non saranno amplificate in quanto determinate ipotizzando un comportamento non dissipativo.

La verifica nei confronti dello Stato Limite di Danno viene eseguita determinando il carico limite della fondazione per le corrispondenti azioni di SLD, impiegando i coefficienti parziali gammaR di cui alla tabella 7.11.II.

N.B. La relazione è redatta in forma sintetica. Verranno riportati solo i casi maggiormente gravosi per ogni tipo di combinazione e le relative verifiche.

Macro platea: 1

Risultati più gravosi per cmb. di tipo **SLU STR**:

Sgm. Lt (tens. litostatica) = -0.0236 daN/cm²

Qlim = Qlim c + Qlim q + Qlim g + Qres P = 0.6131 + 0.1838 + 1.8401 + 0.0000

Qmax / Qlim = 0.8158 / 2.6370 = 0,309 Ok (Cmb. n. 003)

TB / TBlim = 3208.1 / 85975.3 = 0,037 Ok (Cmb. n. 010)

TL / TLlim = 9205.8 / 85270.3 = 0,108 Ok (Cmb. n. 004)

Sollecitazioni:

Cmb n.	Tipo	Sism.	Ecc. B cm	Ecc. L daN	S. Taglio B daN	S. Taglio L daN	S. Normale daN/cm ²	T.T. min daN/cm ²	T.T. max daN/cm ²
003	SLU STR	No	-0.0014.309	0.0	9205.8	-297676.1	-0.7476	-0.8158	
004	SLU STR	No	-0.0015.602	0.0	9205.8	-228981.6	-0.5672	-0.6354	

010 SLU STR No 1.9850.000 3208.1 0.0 -228981.6 -0.5977 -0.6049

Risultati più gravosi per cmb. di tipo SLV A1 sism.:

Sgm. Lt (tens. litostatica) = -0.0236 daN/cm²

Qlim = Qlim c + Qlim q + Qlim g + Qres P = 0.5635 + 0.1698 + 1.2107 + 0.0000

Qmax / Qlim = 0.6931 / 1.9441 = 0,357 Ok (Cmb. n. 018)

TB / TBlim = 14516.4 / 83671.6 = 0,173 Ok (Cmb. n. 026)

TL / TLim = 15039.6 / 84377.7 = 0,178 Ok (Cmb. n. 035)

Sollecitazioni:

Cmb	Tipo	Sism.	Ecc. B	Ecc. L	S. Taglio B	S. Taglio L	S. Normale	T.T. min	T.T. max
n.			cm	cm	daN	daN	daN/cm ²	daN/cm ²	
018	SLV A1	Si	-29.6326.227	-14516.3	4497.0	-228981.6	-0.5095	-0.6931	
026	SLV A1	Si	-29.6326.227	-14516.4	4513.5	-228981.6	-0.5095	-0.6931	
035	SLV A1	Si	-8.844-20.793	-4344.1	-15039.6	-228981.6	-0.4594	-0.7432	

Risultati più gravosi per cmb. di tipo SLD sism.:

Sgm. Lt (tens. litostatica) = -0.0236 daN/cm²

Qlim = Qlim c + Qlim q + Qlim g + Qres P = 0.6112 + 0.1833 + 1.6825 + 0.0000

Qmax / Qlim = 0.6281 / 2.4769 = 0,254 Ok (Cmb. n. 049)

TB / TBlim = 4979.1 / 85134.1 = 0,058 Ok (Cmb. n. 062)

TL / TLim = 3261.3 / 85020.5 = 0,038 Ok (Cmb. n. 067)

Sollecitazioni:

Cmb	Tipo	Sism.	Ecc. B	Ecc. L	S. Taglio B	S. Taglio L	S. Normale	T.T. min	T.T. max
n.			cm	cm	daN	daN	daN/cm ²	daN/cm ²	
049	SLD	Si	10.234-1.338	4979.1	-973.6	-228981.6	-0.5746	-0.6281	
062	SLD	Si	-10.2341.338	-4979.1	978.7	-228981.6	-0.5746	-0.6281	
067	SLD	Si	-3.060-4.477	-1491.3	-3261.3	-228981.6	-0.5687	-0.6340	

VALORI DI CALCOLO DEI CEDIMENTI PER FONDAZIONI SUPERFICIALI

Elemento: Platea n. 1

Sollecitazioni:

Cmb	Tipo	Sism.	Ecc. B	Ecc. L	S. Taglio B	S. Taglio L	S. Normale	T.T. min	T.T. max
n.			cm	cm	daN	daN	daN/cm ²	daN/cm ²	
012	SLE rare	No	-0.0013.734	0.0	6137.2	-228981.6	-0.5786	-0.6240	

Cedimento massimo = -0.926 cm in Cmb n. 012

Cedimento minimo = -0.221 cm in Cmb n. 012

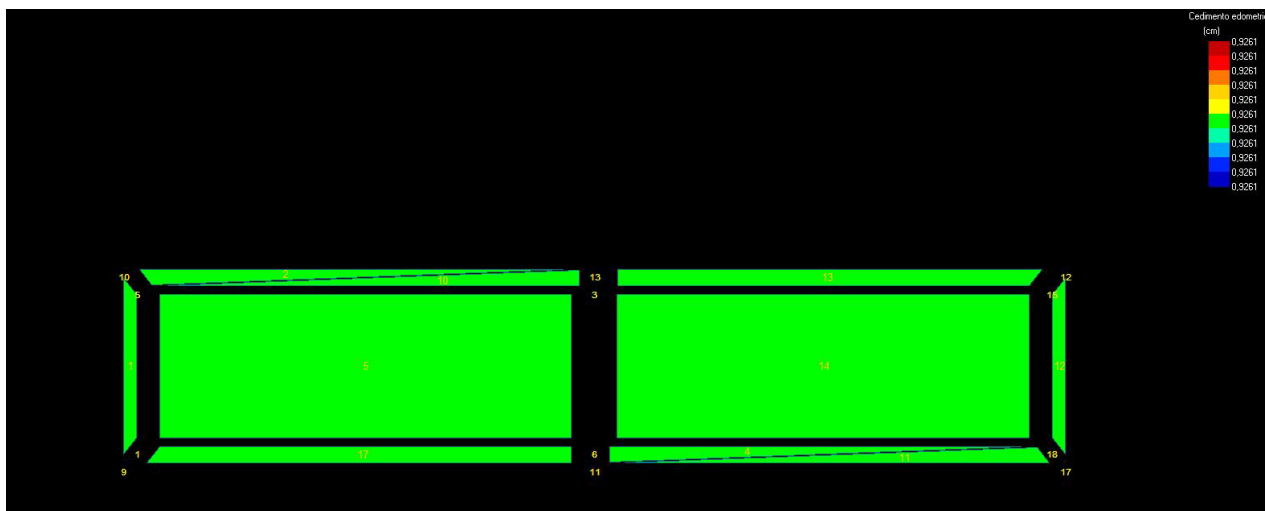


Figura 6: cedimenti edometrici massimi

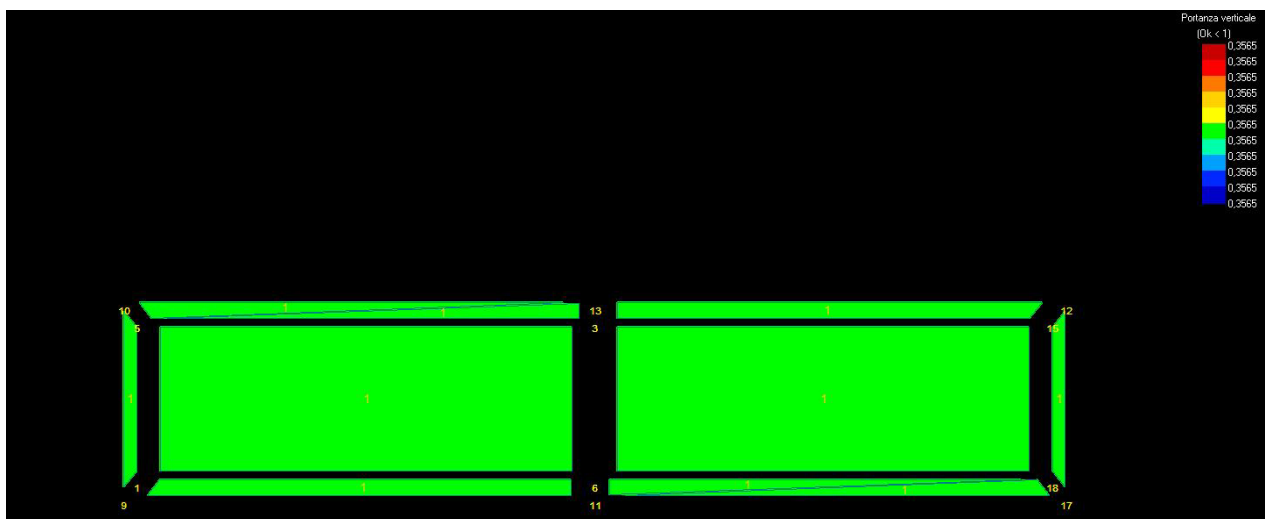


Figura 7: portanza verticale

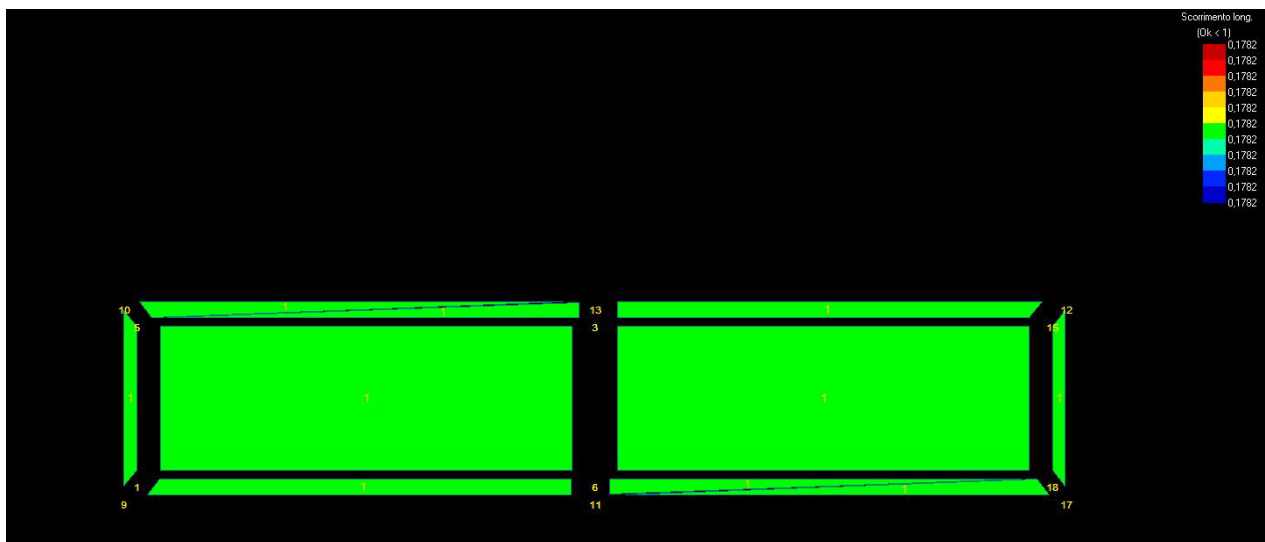


Figura 8: scorrimento longitudinale

Trina Atena Solar S.r.l.

Sede Legale :
Piazza Borromeo 14,
20123 Milano,
P. IVA 11341420963



CODE

SCS.DES.R.CIV.ITA.P.2051.006.00

PAGE

42 di/of 42

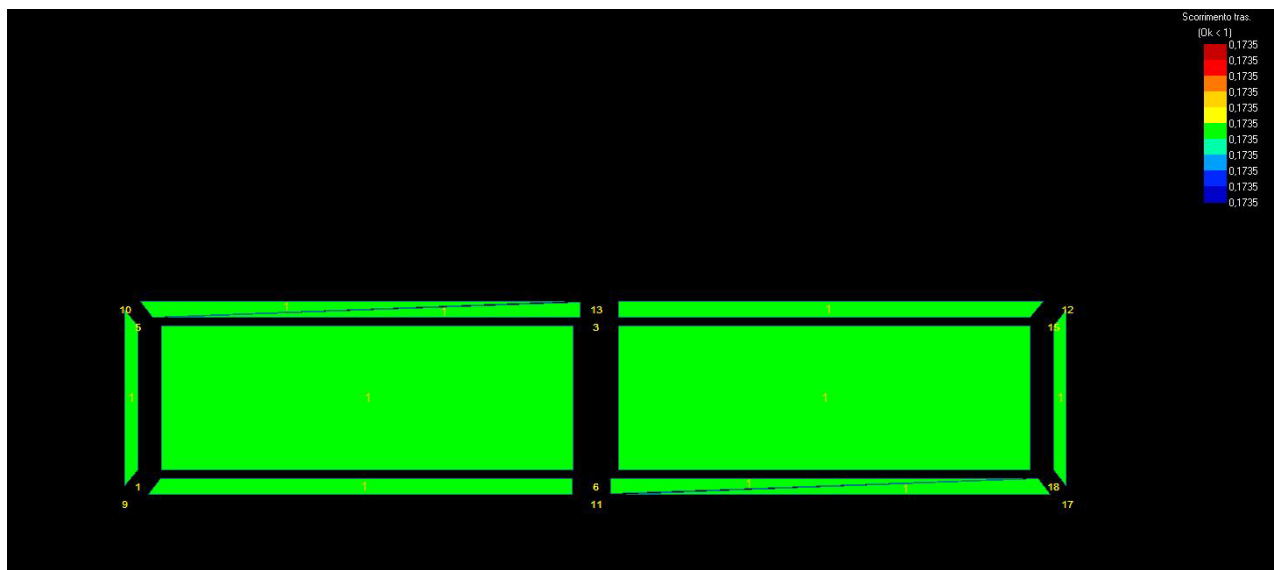


Figura 9: scorrimento trasversale

IL PROGETTISTA

